



# AUTOSTRADA REGIONALE CISPADANA DAL CASELLO DI REGGIOLO-ROLO SULLA A22 AL CASELLO DI FERRARA SUD SULLA A13

CODICE C.U.P. E81B08000060009

## PROGETTO DEFINITIVO

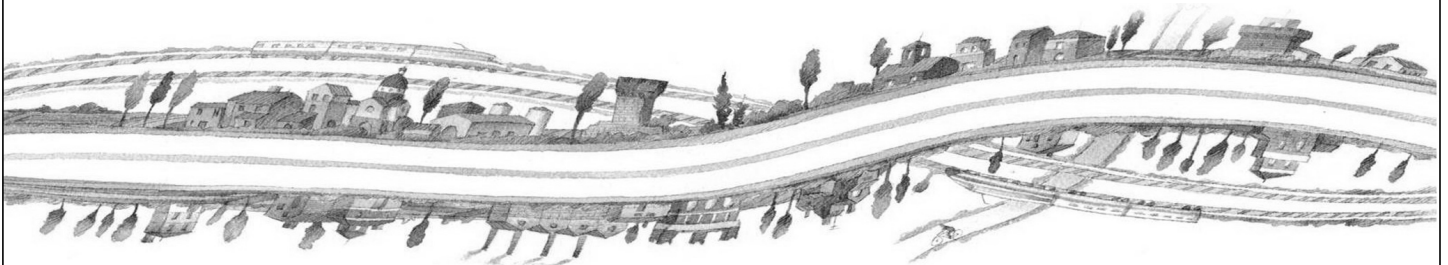
### ASSE AUTOSTRADALE (COMPRESIVO DEGLI INTERVENTI LOCALI DI COLLEGAMENTO VIARIO AL SISTEMA AUTOSTRADALE)

GEOLOGIA, IDROGEOLOGIA, SISMICA E GEOTECNICA

GEOTECNICA

SVINCOLO DI S. POSSIDONIO - CONCORDIA - MIRANDOLA

RELAZIONE GEOTECNICA SVINCOLO DI S. POSSIDONIO - CONCORDIA - MIRANDOLA



IL PROGETTISTA

Ing. Gianfranco Marchi  
Albo Ing. Ravenna n°342

RESPONSABILE INTEGRAZIONE  
PRESTAZIONI SPECIALISTICHE

Ing. Emilio Salsi  
Albo Ing. Reggio Emilia n° 945



IL CONCESSIONARIO

Autostrada Regionale  
Cispadana S.p.A.  
IL PRESIDENTE  
Graziano Pattuzzi

G										
F										
E										
D										
C										
B										
A	17.04.2012	EMISSIONE				A. Boschi	G. Marchi	E. Salsi		
REV.	DATA	DESCRIZIONE				REDAZIONE	CONTROLLO	APPROVAZIONE		
IDENTIFICAZIONE ELABORATO										DATA: MAGGIO 2012
NUM. Progr.	FASE	LOTTO	GRUPPO	CODICE OPERA WBS	TRATTO OPERA	AMBITO	TIPO ELABORATO	PROGRESSIVO	REV.	SCALA: _
0464	PD	0	S02	S0000	0	GT	RB	01	A	



## INDICE

<b>1. PREMESSA.....</b>	<b>3</b>
<b>2. NORMATIVA E DOCUMENTI DI RIFERIMENTO .....</b>	<b>4</b>
2.1. NORMATIVE .....	4
2.2. BIBLIOGRAFIA DI RIFERIMENTO .....	4
2.3. ELABORATI DI PROGETTO DEFINITIVO .....	5
<b>3. INDAGINI GEOGNOSTICHE IN SITO E DI LABORATORIO .....</b>	<b>7</b>
<b>4. CARATTERIZZAZIONE STRATIGRAFICA.....</b>	<b>8</b>
<b>5. DEFINIZIONE DEI LIVELLI PIEZOMETRICI .....</b>	<b>10</b>
<b>6. CRITERI PER LA CARATTERIZZAZIONE GEOTECNICA .....</b>	<b>11</b>
<b>7. CARATTERIZZAZIONE GEOTECNICA .....</b>	<b>12</b>
<b>8. VERIFICA DI CAPACITÀ PORTANTE E SCORRIMENTO MEDIANTE I DIAGRAMMI DI INTERAZIONE PER LE FONDAZIONI SUPERFICIALI .....</b>	<b>18</b>
8.1. FABBRICATI DI SERVIZIO CON FONDAZIONI DIRETTE A TRAVI ROVESCE .....	21
8.1.1. Fondazione di larghezza B = 1.20 m e approfondimento D = 1.00 m.....	21
8.1.1.1 Carichi limite finalizzati alla determinazione dei domini.....	21
8.1.1.2 Diagrammi di interazione in Condizione Statica Drenata .....	22
8.1.1.3 Diagrammi di interazione in Condizione Statica non drenata .....	23
8.1.1.4 Diagrammi di interazione in Condizione Sismica .....	24
8.1.2. Fondazione di larghezza B = 1.80 m e approfondimento D = 1.00 m.....	25
8.1.2.1 Carichi limite finalizzati alla determinazione dei domini.....	25
8.1.2.2 Diagrammi di interazione in Condizione Statica Drenata .....	26
8.1.2.3 Diagrammi di interazione in Condizione Statica non drenata .....	27
8.1.2.4 Diagrammi di interazione in Condizione Sismica .....	28
8.2. MANUFATTO SCATOLARE IN C.A. – CUNICOLO IMPIANTI .....	29
8.2.1. Carichi limite finalizzati alla determinazione dei domini .....	29
8.2.2. Diagrammi di interazione in Condizione Statica Drenata.....	30
8.2.3. Diagrammi di interazione in Condizione Statica non drenata .....	31
8.2.4. Diagrammi di interazione in Condizione Sismica.....	32
8.3. PENSILINA CON FONDAZIONI DIRETTE A TRAVI ROVESCE .....	33
8.3.1. Carichi limite finalizzati alla determinazione dei domini .....	33
8.3.2. Diagrammi di interazione in Condizione Statica Drenata.....	34
8.3.3. Diagrammi di interazione in Condizione Statica non drenata .....	35
8.3.4. Diagrammi di interazione in Condizione Sismica.....	36
<b>9. PRESSIONE DI CONTATTO LIMITE DI PROGETTO TRA TERRENO E FONDAZIONE .....</b>	<b>37</b>

9.1. FABBRICATI DI SERVIZIO CON FONDAZIONI DIRETTE A TRAVI ROVESCE .....	38
9.1.1. Fondazione di larghezza B = 1.20 m e approfondimento D = 1.00 m.....	38
9.1.2. Fondazione di larghezza B = 1.80 m e approfondimento D = 1.00 m.....	41
9.2. MANUFATTO SCATOLARE IN C.A. – CUNICOLO IMPIANTI.....	43
9.3. STRUTTURE DI FONDAZIONE DELLA PENSILINA .....	46
<b>10. COSTANTE DI SOTTOFONDO .....</b>	<b>49</b>
<b>11. VERIFICHE DI STABILITÀ DEI RILEVATI.....</b>	<b>50</b>
11.1. VERIFICHE DI STABILITÀ DEL CORPO RILEVATO.....	51
11.2. VERIFICHE DI STABILITÀ GLOBALE DEI RILEVATI.....	52
11.2.1. $H_{ril} = 6.00$ m.....	52
11.2.2. $H_{ril} = 10.00$ m.....	54
11.2.3. $H_{ril} = 12.00$ m.....	55
<b>12. STIMA DEI CEDIMENTI E LORO EVOLUZIONE NEL TEMPO .....</b>	<b>58</b>
<b>13. INTERVENTI DI CONSOLIDAMENTO PER I RILEVATI IN CORRISPONDENZA DELLE SPALLE DELLE OPERE D'ARTE .....</b>	<b>59</b>
<b>14. VERIFICHE DI STABILITÀ NEI CONFRONTI DEI FENOMENI DI LIQUEFAZIONE .....</b>	<b>60</b>
<b>15. CLASSI DI ESPOSIZIONE PER OPERE DI FONDAZIONE .....</b>	<b>61</b>
<b>16. TRATTAMENTO DEL PIANO DI POSA DEI RILEVATI/TRINCEE.....</b>	<b>62</b>
16.1. CRITERI PER LA DEFINIZIONE DEGLI SPESSORI DI BONIFICA AL DI SOTTO DEI RILEVATI.....	62
16.2. SCHEMA GENERALE DELLE BONIFICHE .....	62
16.3. LIVELLO PRESTAZIONALE PIANO DI POSA DEI RILEVATI .....	63
16.4. CARATTERIZZAZIONE DEI MATERIALI .....	63
16.5. EFFETTI DELLA VARIAZIONE DELLO SPESSORE DI BONIFICA E DEL RELATIVO MODULO ELASTICO .....	64
16.6. STUDIO DELLA STABILIZZAZIONE DELLE TERRE CON CALCE .....	66

## 1. PREMESSA

---

Nell'ambito delle attività di progettazione previste per la redazione del Progetto Definitivo dell'Autostrada Regionale Cispadana dal casello di Reggiolo-Rolo su A22 al casello di Ferrara Sud su A13, il presente documento illustra le analisi geotecniche con riferimento allo Svincolo di S.Possidonio-Concordia-Mirandola.

In particolare, nel seguito dell'elaborato verranno descritte ed approfondite le seguenti tematiche:

- normativa e documentazione di riferimento per la caratterizzazione geotecnica;
- descrizione dei dati geognostici disponibili;
- caratterizzazione stratigrafica dei terreni lungo il tracciato;
- definizione dei livelli piezometrici ai fini delle analisi geotecniche;
- descrizione dei criteri utilizzati per la caratterizzazione geotecnica;
- definizione dei parametri geotecnici per le unità geotecniche individuate;
- calcolo della capacità portante per:
  - le fondazioni dei fabbricati di servizio ipotizzati con strutture a telaio in c.a. con fondazioni dirette a travi rovesce;
  - il cunicolo impianti realizzato con struttura scatolare in .c.a;
  - le fondazioni della pensilina costituite da travi rovesce;
- verifiche di stabilità dei rilevati;
- valutazione dei cedimenti dei rilevati;
- determinazione del trattamento del piano di posa dei rilevati.

## 2. NORMATIVA E DOCUMENTI DI RIFERIMENTO

---

### 2.1. NORMATIVE

---

Le normative di riferimento sono riportate nell'elaborato:

- PD\_0\_000\_00000\_0\_GE\_KT\_01, "Elenco delle Normative di riferimento".

### 2.2. BIBLIOGRAFIA DI RIFERIMENTO

---

- Associazione Geotecnica Italiana (2005) "Aspetti geotecnici della progettazione in zona sismica", Patron Editore, Bologna.
- LANCELLOTTA R. (1993) – "Geotecnica", Seconda edizione, ed. Zanichelli, Bologna.
- LUNNE T., CHRISTOFFERSEN H.P. (1985) – "Interpretation of Cone Penetrometer Data for Offshore Sands" – Norwegian Geotechnical Institute, 1985, Publication n. 156.
- LUNNE T., ROBERTSON P.K., POWELL J.J.M. (1997) – "Cone Penetration Testing in Geotechnical Practice" – Blackie Academic & Profesional.
- P.K. ROBERTSON (2009) – "Interpretation of cone penetration tests - a unified approach" – Canadian Geotechnical Journal, Vol. 46, 1337-1355.
- "Soil behaviour in earthquake geotechnics"; Ishihara K.; 1996 Oxford science publications.
- "Dinamica dei terreni per le applicazioni sismiche"; Crespellani T., Facciorusso J.; 2010, Dario Flaccovio Editore.
- "Dynamic deformation characteristics of soils determined by laboratory tests", Yokota K., Imai T., Konno M., 1981; OYO Technical report.
- "The behaviour of Drammen clay under cyclic loading", Eekelen H.A.M. Van, Potts D.M., 1978
- "Post-cyclic degradation of strength and stiffness for low plasticity silt", Yasuhara K., Murakami S.M., Song B., Yokokawa S., Hyde A.F.L., 2003

## 2.3. ELABORATI DI PROGETTO DEFINITIVO

---

Nell'ambito delle attività di progettazione, a corredo della presente relazione sono state elaborate le cartografie tematiche di seguito elencate:

- Relazione geotecnica generale - Cod. PD\_0\_A00\_A0000\_0\_GT\_RB\_01
- Criteri generali per le verifiche geotecniche - PD\_0\_A00\_A0000\_0\_GT\_RB\_02.
- Asse autostradale - Planimetria ubicazione indagini geognostiche in sito - Tav. 3/14 - scala 1:5.000  
Cod. PD\_0\_A00\_A0000\_0\_GT\_PG\_03;
- Planimetria con classificazione sismica del territorio - Tav. 2/7 - scala 1:10.000  
Cod. PD\_0\_A00\_A0000\_0\_GT\_CT\_02;
- Profilo geotecnico Svincolo Autostazione S.Possidonio-Concordia-Mirandola - scala 1:5000  
Cod. PD\_0\_S02\_S0000\_0\_GT\_FT\_01.

Ai fini del presente studio, si è fatto inoltre riferimento ai seguenti documenti, inerenti le indagini in sito ed in laboratorio di progetto definitivo:

- INDAGINI GEOGNOSTICHE IN SITO - LOTTO 1 - Relazione illustrativa  
Cod. PD\_0\_X01\_X0000\_0\_IS\_RG\_00;
- INDAGINI GEOGNOSTICHE IN SITO - LOTTO 1 - Sondaggi geognostici  
Cod. PD\_0\_X01\_X0000\_0\_IS\_CF\_01;
- INDAGINI GEOGNOSTICHE IN SITO - LOTTO 1 - Prove penetrometriche statiche CPTU  
Cod. PD\_0\_X01\_X0000\_0\_IS\_CF\_02;
- INDAGINI GEOGNOSTICHE IN SITO - LOTTO 1 - Pozzetti esplorativi e prove di Carico su piastra  
Cod. PD\_0\_X01\_X0000\_0\_IS\_CF\_03;
- INDAGINI GEOGNOSTICHE IN SITO - LOTTO 1 - Prove con cono sismico SCPT  
Cod. PD\_0\_X01\_X0000\_0\_IS\_CF\_04;
- INDAGINI GEOGNOSTICHE IN SITO - LOTTO 1 - Prove sismiche Cross-Hole  
Cod. PD\_0\_X01\_X0000\_0\_IS\_IG\_00;
- PROVE DI LABORATORIO LOTTO 1 - Prove di laboratorio su campioni prelevati da sondaggi geognostici  
Cod. PD\_0\_X01\_X0000\_0\_IL\_CF\_01;



- PROVE DI LABORATORIO LOTTO 1 - Prove di laboratorio su campioni prelevati da pozzetti esplorativi  
Cod. PD\_0\_X01\_X0000\_0\_IL\_CF\_02;
- PROVE DI LABORATORIO LOTTO 1 – Analisi chimiche su campioni idrici  
Cod. PD\_0\_X01\_X0000\_0\_IL\_CF\_03;





### 3. INDAGINI GEOGNOSTICHE IN SITO E DI LABORATORIO

---

Per la indagini geognostiche di riferimento si rimanda al documento PD\_0\_A00\_A0000\_0\_GT\_RB\_01 ed al capitolo 7.

## 4. CARATTERIZZAZIONE STRATIGRAFICA

Il profilo geologico-geotecnico, ottenuto dall'interpretazione delle indagini geognostiche, è riportato nell'elaborato Profilo geotecnico Svincolo Autostazione S.Possidonio-Concordia-Mirandola (Cod. PD\_0\_S02\_S0000\_0\_GT\_FT\_01).

L'intera profondità indagata lungo tutta la tratta autostradale è caratterizzata dalla presenza di depositi di piana alluvionale che sono stati suddivisi nelle 6 unità stratigrafiche descritte in seguito:

- **Rilevati antropici**
- **Unità R**

Terreno vegetale e/o suoli agrari, sovraconsolidati per essiccamento. Localmente terreni di riporto.

- **Unità 1**

Argille, argille limose e debolmente limose o sabbiose, limi, limi argillosi e debolmente argillosi o sabbiosi, di colore nocciola, marrone, grigio e nerastro. Localmente sono presenti striature rossastre e ocra, venature nerastre per presenza di frustoli carboniosi e resti torbosi, e concrezioni calcaree millimetriche (calcinelli). L'unità si presenta da moderatamente consistente a consistente. I primi metri dal piano campagna appaiono talvolta sovraconsolidati per essiccamento. Resistenza alla punta media 1÷3 MPa.

- **Unità 2**

Limi sabbiosi e sabbie limose, talora debolmente argillose di colore nocciola, marrone e grigio. Resistenza alla punta media 3÷8 MPa.

- **Unità 3**

Sabbie fini, talora debolmente limose di colore nocciola, marrone e grigio, da poco a mediamente addensate. Intercalate all'unità 3 si rinvengono talora livelli di spessore centimetrico e decimetrico ascrivibili ad altre unità geotecniche. Resistenza alla punta media 8÷10 MPa,  $Dr \leq 50\%$ .

- **Unità 4**

Sabbie medie, talora debolmente limose di colore nocciola, marrone e grigio. Localmente sono presenti livelli di sabbie più grossolane. Si presentano da mediamente addensate ad addensate. Intercalate all'unità 4 si rinvengono talora livelli di spessore centimetrico e decimetrico ascrivibili ad altre unità geotecniche. Resistenza alla punta media 10÷15 MPa,  $Dr = 50\% \div 70\%$ .

- **Unità 5**

Sabbie medie, talora debolmente limose, di colore nocciola, marrone e grigio. Localmente sono presenti livelli di sabbie più grossolane talora ghiaiose. Le sabbie presentano generalmente un buon grado di addensamento. Intercalate all'unità 5 si rinvencono talora livelli di spessore centimetrico e decimetrico ascrivibili ad altre unità geotecniche. Resistenza alla punta media  $>15$  MPa,  $D_r \geq 70\%$ .

- **Unità 6**

Argille poco consistenti, di colore grigio scuro e nero con abbondante presenza di frustoli carboniosi e livelli organici indecomposti. Localmente si rinvencono livelli di torba di spessore decimetrico.

## **5. DEFINIZIONE DEI LIVELLI PIEZOMETRICI**

---

Per la definizione dei livelli piezometrici si rimanda al documento PD\_0\_A00\_A0000\_0\_GT\_RB\_01 ed al capitolo 7.

## **6. CRITERI PER LA CARATTERIZZAZIONE GEOTECNICA**

---

Per quanto concerne i criteri utilizzati nella caratterizzazione geotecnica si rimanda al documento PD\_0\_A00\_A0000\_0\_GT\_RB\_01.

## 7. CARATTERIZZAZIONE GEOTECNICA

Di seguito si riporta la scheda di caratterizzazione geotecnica per lo svincolo, con riferimento alla autostazione ed alle rampe.

**OPERA:** Autostazione di Possidonio-Concordia-Mirandola

**Q<sub>rif</sub> = 15.50 m s.l.m.**

**TABELLA 7-1: INDAGINI GEOGNOSTICHE DI RIFERIMENTO PER STRATIGRAFIA E CARATTERIZZAZIONE**

sigla indagine	campagna di indagine	quota p.c. (m s.l.m.)	lunghezza (m)	strumentazione installata
BH 35	Geoservice - 2011	15.569	30.50	C (20)
CPTU80	Geoservice - 2011	15.520	30.84	-

C (...) = cella piezometrica Casagrande (quota cella);

TA (...) = piezometro a tubo aperto (tratto filtrante).

CH (...) = cross-hole (profondità)

**TABELLA 7-2: UNITÀ LITOSTRATIGRAFICHE INDIVIDUATE LUNGO IL TRACCIATO**

Unità	Descrizione
R/V	Terreno di riporto e terreno vegetale
1	Argilla limosa/Limo argilloso
2	Sabbia limosa/Limo sabbioso
3	Sabbia con $D_r < 50\%$
4	Sabbia con $50\% < D_r < 70\%$
5	Sabbia con $D_r > 70\%$
6	Torba/Argilla organica

TABELLA 7-3: CARATTERIZZAZIONE STRATIGRAFICO – GEOTECNICA

Profondità (m da p.c.) ( $Q_{ref}$ 14.00 m s.l.m.)	Unità -	$z_w$ (m)	$\gamma_n$ (kN/m <sup>3</sup> )	$\varphi'$ (*) (°)	$c'$ (*) (kPa)	$c_u$ (*) (kPa)	$E'$ (MPa)	$M$ (MPa)
0.0÷12.0	1	0.5	18.7	22-26	2-6	40-60	3.7	5.0
12.0÷14.0	2		18.5	26	-	50-70	7.4	9.9
14.0÷15.0	3		18.5	30-32	-	-	15.0	-
15.0÷17.5	4		19.0	31-33	-	-	30.0	-
17.5÷22.5	5		19.5	30-34	-	-	60.0	-
22.5÷23.5	4		19.0	31-33	-	-	30.0	-
23.5÷25.5	5		19.5	30-34	-	-	60.0	-
25.5÷26.2	4		19.0	31-33	-	-	30.0	-
Da 26.2	5		19.5	30-34	-	-	60.0	-

$Q_{ref}$  = quota assoluta inizio caratterizzazione (m s.l.m.);

$z_w$  = profondità falda di progetto;

$\gamma_n$  = peso di volume naturale (kN/m<sup>3</sup>);

(\*) = Il valore caratteristico di tale parametro viene determinato come segue:

- valori prossimi al valore medio dovranno essere assunti per verifiche che coinvolgono un volume di terreno tale da compensare eventuali eterogeneità e/o quando la struttura a contatto con il terreno presenta una rigidità tale da consentire il trasferimento delle azioni dalle zone più resistenti a quelle meno resistenti;
- valori prossimi al valore minimo di tale parametro dovranno essere adottati per verifiche che coinvolgono modesti volumi di terreno e/o quando la struttura a contatto con il terreno non è in grado di garantire il trasferimento delle azioni dalle zone più resistenti a quelle meno resistenti a causa della sua scarsa rigidità.

$\varphi'$  = valore dell'angolo di resistenza al taglio (°);

$c'$  = valore della coesione efficace (kPa);

$C_u$  = valore della coesione non drenata (kPa);

$E'$  = modulo di Young (MPa);

$M$  = valore del modulo edometrico.

**OPERA: SVINCOLO S. POSSIDONIO CONCORDIA MIRANDOLA – RAMPA A**

**Q<sub>rif</sub> = 16.00 m s.l.m.**

**TABELLA 7-4: INDAGINI GEOGNOSTICHE DI RIFERIMENTO PER STRATIGRAFIA E CARATTERIZZAZIONE**

sigla indagine	campagna di indagine	quota p.c. (m s.l.m.)	lunghezza (m)	strumentazione installata
BH36	Geoservice - 2011	16.210	40.0	-
CPTU75	Geoservice - 2011	16.350	40.0	-
CPTU76	Geoservice - 2011	15.946	40.0	-

C (...) = cella piezometrica Casagrande (quota cella);

TA (...) = piezometro a tubo aperto (tratto filtrante).

**TABELLA 7-5: UNITÀ LITOSTRATIGRAFICHE INDIVIDUATE LUNGO IL TRACCIATO**

Unità	Descrizione
R/V	Terreno di riporto e terreno vegetale
1	Argilla limosa/Limo argilloso
2	Sabbia limosa/Limo sabbioso
3	Sabbia con D <sub>r</sub> <50%
4	Sabbia con 50%<D <sub>r</sub> <70%
5	Sabbia con D <sub>r</sub> >70%
6	Torba/Argilla organica



TABELLA 7-6: CARATTERIZZAZIONE STRATIGRAFICO – GEOTECNICA

Profondità (m da p.c.) ( $Q_{ref}$ 16.00 m s.l.m.)	Unità -	$z_w$ (m)	$\gamma_n$ (kN/m <sup>3</sup> )	$\varphi'$ (*) (°)	$c'$ (*) (kPa)	$c_u$ (*) (kPa)	$E'$ (kPa)	M (kPa)
0.0÷10.0	1	1.0	18.7	22	6	25+1.9z	3715-5844	5000-7865
10.0÷12.0	2		18.5	26	0	50-70	5572-6761	7500-9100
12.0÷18.0	4		19.0	31-33	0	-	30000	-
Da 18.0	5		19.5	30-34	0	-	60000	-

$Q_{ref}$  = quota assoluta inizio caratterizzazione (m s.l.m.);

$z_w$  = profondità falda di progetto;

$\gamma_n$  = peso di volume naturale (kN/m<sup>3</sup>);

(\*) = Il valore caratteristico di tale parametro viene determinato come segue:

- valori prossimi al valore medio dovranno essere assunti per verifiche che coinvolgono un volume di terreno tale da compensare eventuali eterogeneità e/o quando la struttura a contatto con il terreno presenta una rigidità tale da consentire il trasferimento delle azioni dalle zone più resistenti a quelle meno resistenti;
- valori prossimi al valore minimo di tale parametro dovranno essere adottati per verifiche che coinvolgono modesti volumi di terreno e/o quando la struttura a contatto con il terreno non è in grado di garantire il trasferimento delle azioni dalle zone più resistenti a quelle meno resistenti a causa della sua scarsa rigidità.

$\varphi'$  = valore dell'angolo di resistenza al taglio (°);

$c'$  = valore della coesione efficace (kPa);

$c_u$  = valore della coesione non drenata (kPa);

$E'$  = modulo di Young (kPa);

M = valore del modulo edometrico.

<b>OPERA:</b>	<b>SVINCOLO S. POSSIDONIO CONCORDIA MIRANDOLA – RAMPA B</b>
---------------	---

<b>Q<sub>rif</sub> = 16.00 m s.l.m.</b>
---

**TABELLA 7-7: INDAGINI GEOGNOSTICHE DI RIFERIMENTO PER STRATIGRAFIA E CARATTERIZZAZIONE**

sigla indagine	campagna di indagine	quota p.c. (m s.l.m.)	lunghezza (m)	strumentazione installata
CPTU77	Geoservice - 2011	15.956	40.0	-
CPTU78	Geoservice - 2011	15.909	40.0	-
CPTU79	Geoservice - 2011	15.719	30.8	-

C (....) = cella piezometrica Casagrande (quota cella);  
TA (....) = piezometro a tubo aperto (tratto filtrante).

**TABELLA 7-8: UNITÀ LITOSTRATIGRAFICHE INDIVIDUATE LUNGO IL TRACCIATO**

Unità R/V	Descrizione
	Terreno di riporto e terreno vegetale
1	Argilla limosa/Limo argilloso
2	Sabbia limosa/Limo sabbioso
3	Sabbia con $D_r < 50\%$
4	Sabbia con $50\% < D_r < 70\%$
5	Sabbia con $D_r > 70\%$
6	Torba/Argilla organica

TABELLA 7-9: CARATTERIZZAZIONE STRATIGRAFICO – GEOTECNICA

Profondità (m da p.c.) ( $Q_{ref}$ 16.00 m s.l.m.)	Unità -	$z_w$ (m)	$\gamma_n$ (kN/m <sup>3</sup> )	$\varphi'$ (*) (°)	$c'$ (*) (kPa)	$c_u$ (*) (kPa)	$E'$ (kPa)	M (kPa)
0.0÷10.0	1	1.0	18.7	22	6	25+1.9z	3715-5844	5000-7865
10.0÷12.0	2		18.5	26	0	50-70	5572-6761	7500-9100
12.0÷18.0	4		19.0	31-33	0	-	30000	-
Da 18.0	5		19.5	30-34	0	-	60000	-

$Q_{ref}$  = quota assoluta inizio caratterizzazione (m s.l.m.);

$z_w$  = profondità falda di progetto;

$\gamma_n$  = peso di volume naturale (kN/m<sup>3</sup>);

(\*) = Il valore caratteristico di tale parametro viene determinato come segue:

- valori prossimi al valore medio dovranno essere assunti per verifiche che coinvolgono un volume di terreno tale da compensare eventuali eterogeneità e/o quando la struttura a contatto con il terreno presenta una rigidità tale da consentire il trasferimento delle azioni dalle zone più resistenti a quelle meno resistenti;
- valori prossimi al valore minimo di tale parametro dovranno essere adottati per verifiche che coinvolgono modesti volumi di terreno e/o quando la struttura a contatto con il terreno non è in grado di garantire il trasferimento delle azioni dalle zone più resistenti a quelle meno resistenti a causa della sua scarsa rigidità.

$\varphi'$  = valore dell'angolo di resistenza al taglio (°);

$c'$  = valore della coesione efficace (kPa);

$c_u$  = valore della coesione non drenata (kPa);

$E'$  = modulo di Young (kPa);

M = valore del modulo edometrico.

La categoria di sottosuolo che è possibile assumere per le elaborazioni è **C**.

Sulla base delle risultanze delle analisi chimiche sono emerse criticità in merito all'attacco chimico nel suolo naturale e nell'acqua del terreno, ai sensi della UNI EN 206-1 e della UNI 11104. Le condizioni ambientali risultano aggressive con classe di esposizione XA1.

## 8. VERIFICA DI CAPACITÀ PORTANTE E SCORRIMENTO MEDIANTE I DIAGRAMMI DI INTERAZIONE PER LE FONDAZIONI SUPERFICIALI

Lo studio della capacità portante di una fondazione superficiale di larghezza  $B$  può essere affrontato tramite la costruzione del relativo diagramma di interazione nello spazio tridimensionale delle componenti di carico, che delimita le combinazioni ammissibili, al suo interno, da quelle semplicemente inammissibili, al suo esterno.

La risultante dei carichi applicati  $Q$  può essere infatti scomposta nelle sue componenti staticamente equivalenti che, nel caso piano, sono costituite dalla componente verticale  $V$ , orizzontale  $H$  e dal momento  $M$ , così definite (Figura 8-1):

$$V = Q \cdot \cos\alpha \quad H = Q \cdot \sin\alpha \quad M = Q \cdot e \cdot \cos\alpha$$

ed il problema della capacità portante può essere così risolto verificando che le diverse possibili combinazioni delle componenti di carico ( $V, M, H$ ) ricadano all'interno del diagramma di interazione di riferimento.

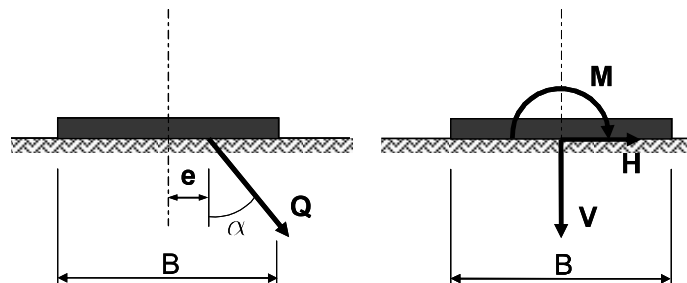


FIGURA 8-1: DEFINIZIONE DELLE COMPONENTI DI CARICO

I luoghi di rottura (o diagrammi di interazione) di una fondazione, opportunamente adimensionalizzati, possono essere definiti mediante le formulazioni di **Brinch-Hansen (1970)** e **Meyerhof (1953)** per condizioni drenate e di **Gourvenec (2007)** per condizioni non drenate riportate in dettaglio nel documento PD-0-A00-A0000-0-GT-RB-02-A "Criteri generali per le verifiche geotecniche".

Il calcolo dei diagrammi di interazione è stato condotto, in riferimento al DM 14/01/2008, utilizzando i parametri del terreno fattorizzati con i coefficienti  $\gamma_M$  riportati in Tab. 6.2.11 del decreto sopracitato; nelle seguenti condizioni di calcolo:

- Condizione statica a breve termine (calcolo in termini di parametri non drenati delle unità coesive);
- Condizione statica a lungo termine (calcolo in termini di parametri drenati dei terreni);

- Condizione sismica (calcolo in termini di parametri non drenati delle unità coesive).

Nel calcolo sono state considerate le seguenti condizioni geometriche indicate nella seguente tabella.

**TABELLA 8-1: CONDIZIONI GEOMETRICHE ANALIZZATE**

EDIFICIO/MANUFATTO	TIPO DI FONDAZIONE	Geometria analizzata	
		Dimensioni fondazione	Approfondimento D [m]
FABBRICATI DI SERVIZIO	Superficiale nastriforme	B = 1.2 m	1.0
		B = 1.8 m	1.0
CUNICOLO IMPIANTI	Superficiale nastriforme	B = 5.0 m	2.5
PENSILINA	Superficiale nastriforme	B = 3.5 m	2.5

Nei seguenti paragrafi sono riportati i diagrammi di interazione per le condizioni precedentemente descritte.

**Per la verifica della capacità portante della fondazione, per ciascuna combinazione di carico analizzata, il progettista dovrà seguire la seguente procedura coerentemente con le combinazioni di fattori  $\gamma_A$ ,  $\gamma_M$  e  $\gamma_R$  contemplate da normativa:**

- 1) si determina la terna delle azioni sollecitanti di progetto agenti in fondazione ( $V_{ED}$ ,  $H_{ED}$ ,  $M_{ED}$ );
- 2) si verifica che il valore dell'azione verticale sollecitante di progetto  $V_{ED}$  sia inferiore al valore di  $V_{max} = V_{RD}$  fornito (vedi paragrafi seguenti);
- 3) dal dominio di interazione nel piano V-H, si determina il valore dell'azione orizzontale  $H_{RD}$  corrispondente al valore dell'azione verticale sollecitante di progetto  $V_{ED}$  per la quale si fornisce l'equazione

$$H_{RD} = \frac{10}{7} \cdot V_{ED} \left( 1 - \left( \frac{V_{ED}}{V_{max}} \right)^{1/5} \right) \text{ in condizioni drenate;}$$

$$\left\{ \begin{array}{l} H_{RD} = 4 \cdot H_{max} \cdot \left[ \frac{V_{ED}}{V_{max}} - \left( \frac{V_{ED}}{V_{max}} \right)^2 \right] \Leftrightarrow 0.5 \leq \frac{V_{ED}}{V_{max}} \leq 1 \\ H_{RD} = H_{max} \Leftrightarrow 0 \leq \frac{V_{ED}}{V_{max}} < 0.5 \end{array} \right. \text{ in condizioni non drenate}$$

- 4) dal dominio di interazione nel piano V-M, si determina il valore del momento flettente  $M_{RD}$  corrispondente al valore dell'azione verticale sollecitante di progetto  $V_{ED}$  per il quale si fornisce l'equazione:

$$M_{RD} = 0.5 \cdot B \cdot V_{ED} \left( 1 - \sqrt{\frac{V_{ED}}{V_{max}}} \right) \text{ in condizioni drenate;}$$

$$M_{RD} = 4 \cdot M_{max} \cdot \left[ \frac{V_{ED}}{V_{max}} - \left( \frac{V_{ED}}{V_{max}} \right)^2 \right] \text{ in condizioni non drenate;}$$

- 5) Come primo requisito è necessario che la terna delle azioni sollecitanti di progetto agenti in fondazione ( $V_{ED}$ ,  $M_{ED}$ ,  $H_{ED}$ ) analizzata soddisfi la seguente disuguaglianza:

$$\left( \frac{H_{ED}}{H_{RD}} \right)^2 + \left( \frac{M_{ED}}{M_{RD}} \right)^2 < 1;$$

- 6) Per garantire inoltre che siano rispettati i margini di sicurezza imposti da normativa attraverso i coefficienti  $\gamma_R$  riportati in tabella Tab. 6.4.I del DM 14/01/2008, si richiede di verificare come illustrato ai punti 2, 3, 4 e 5 del presente elenco anche le terne di sollecitazione così composte:

( $V_{ED} \cdot \gamma_R; H_{ED}; M_{ED}$ ) adottando i coefficienti  $\gamma_R$  relativi alle verifiche di capacità portante

( $V_{ED}; H_{ED} \cdot \gamma_R; M_{ED}$ ) adottando i coefficienti  $\gamma_R$  relativi alle verifiche di scorrimento.

La verifica della fondazione può considerarsi soddisfatta ove siano contemporaneamente soddisfatti i requisiti riportati al punto 5 ed al punto 6.

## 8.1. FABBRICATI DI SERVIZIO CON FONDAZIONI DIRETTE A TRAVI ROVESCE

Con riferimento a quanto indicato in Tabella 8-1 nel calcolo sono state considerate le 2 seguenti condizioni geometriche:

- Larghezza della fondazione  $B = 1.20$  m e approfondimento del piano di posa della fondazione  $D = 1.00$  m;
- Larghezza della fondazione  $B = 1.80$  m e approfondimento del piano di posa della fondazione  $D = 1.00$  m.

### 8.1.1. Fondazione di larghezza $B = 1.20$ m e approfondimento $D = 1.00$ m

#### 8.1.1.1 Carichi limite finalizzati alla determinazione dei domini

Nella seguente tabella si riportano i valori di  $V_{max}$ ,  $H_{max}$ ,  $M_{max}$  di riferimento per le combinazioni di calcolo analizzate, parametri fondamentali per la costruzione dei domini di interazione. In particolare:

- $V_{max}$  rappresenta la capacità portante limite per condizioni di carico verticale centrato;
- $H_{max}$  è il carico orizzontale limite in assenza di carico verticale e momento flettente (determinabile esclusivamente in condizioni non drenate);
- $M_{max}$  rappresenta il momento flettente limite il corrispondenza di un carico verticale pari a  $0.5 \cdot V_{max}$ .

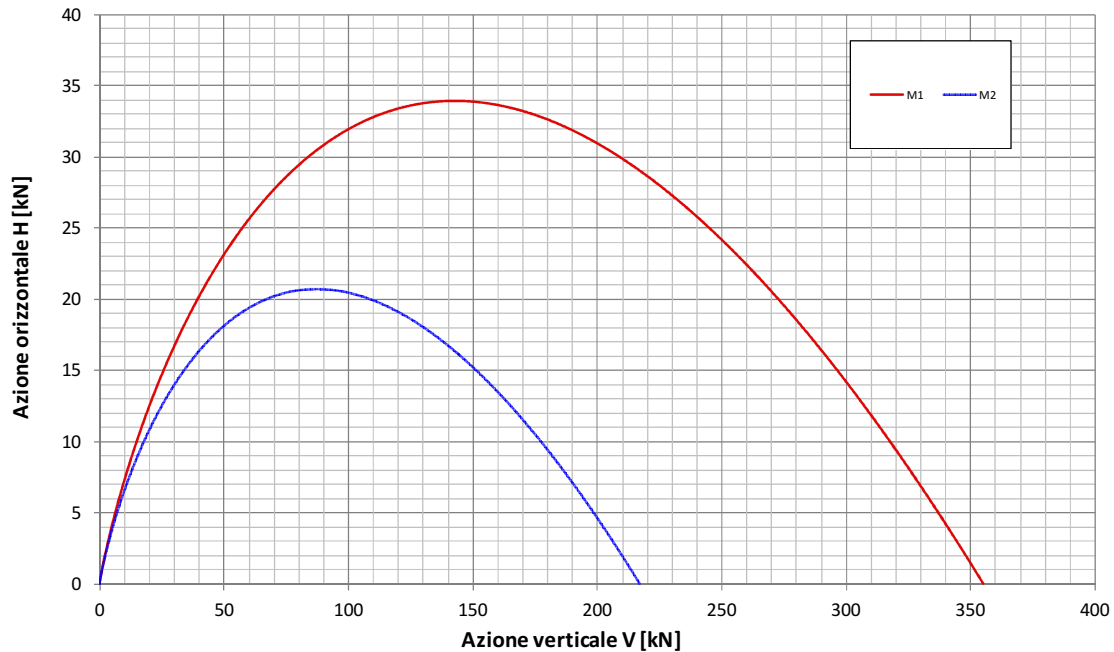
TABELLA 8-2: CARICO LIMITE FINALIZZATI ALLA DETERMINAZIONE DEI DOMINI

	Stat-D	Stat-U	Sisma
$V_{max,M1}$ [kN]	355	433	433
$H_{max,M1}$ [kN]	-	60	60
$M_{max,M1}$ [kNm]	-	46	46
$V_{max,M2}$ [kN]	217	316	316
$H_{max,M2}$ [kN]	-	43	43
$M_{max,M2}$ [kNm]	-	33	33

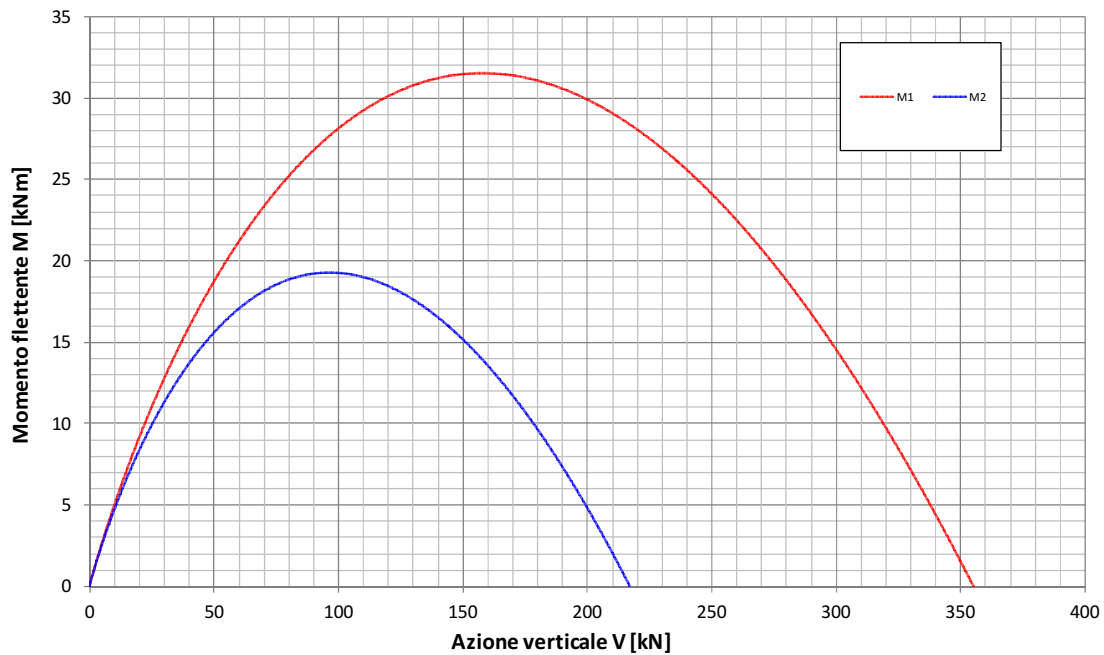
Nel caso in esame trattandosi di fondazioni nastriformi tutti i carichi indicati sono riferiti a un metro lineare di struttura.

### 8.1.1.2 Diagrammi di interazione in Condizione Statica Drenata

Fondazione B=1.2m - Approfondimento D=1.0m  
Condizione Statica Drenata  
Dominio di interazione nel piano V-H (*Brinch Hansen, 1970*)



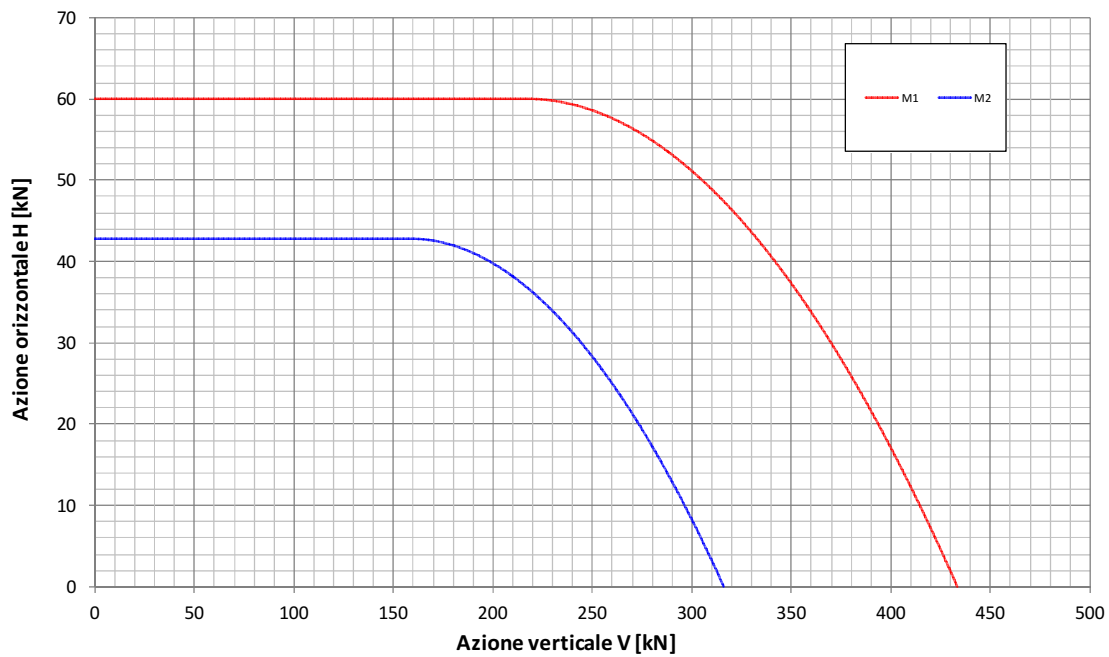
Fondazione B=1.2m - Approfondimento D=1.0m  
Condizione Statica Drenata  
Dominio di interazione nel piano V-M (*Meyerhof, 1953*)



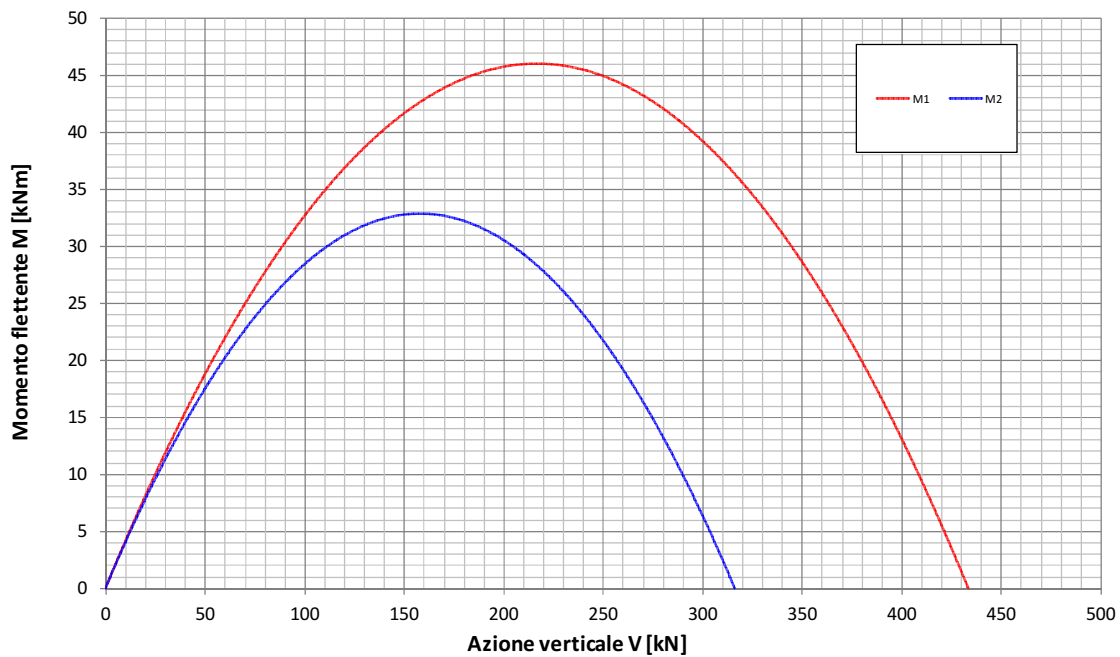


8.1.1.3 Diagrammi di interazione in Condizione Statica non drenata

Fondazione B=1.2m - Approfondimento D=1.0m  
Condizione Statica Non Drenata  
 Dominio di interazione nel piano V-H (*Gourvenec, 2007*)

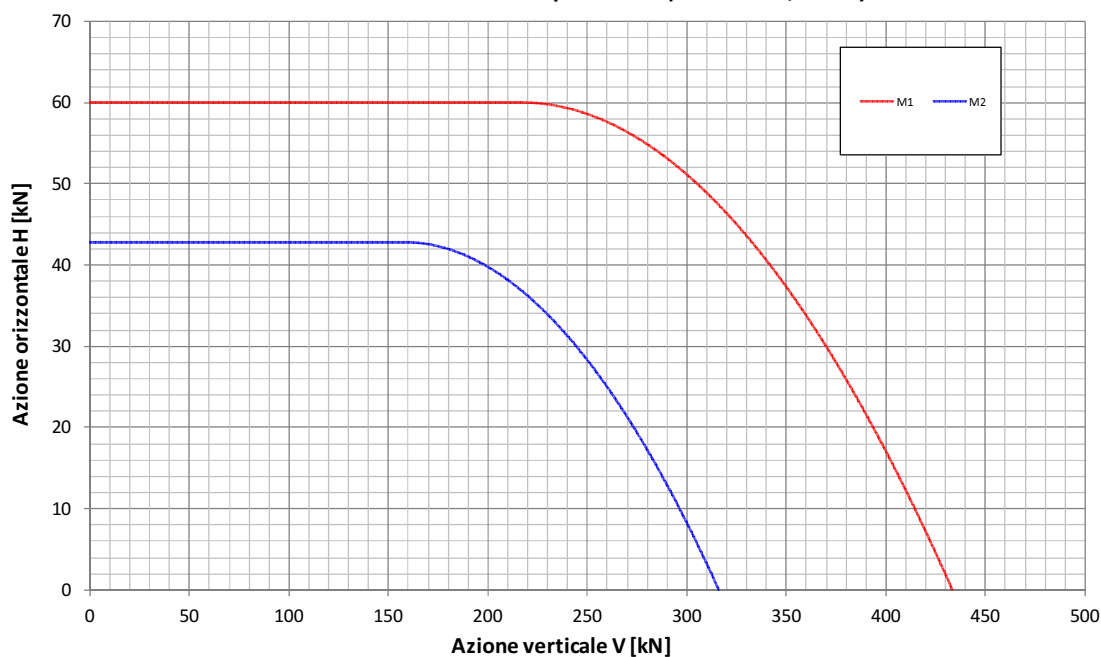


Fondazione B=1.2m - Approfondimento D=1.0m  
Condizione Statica Non Drenata  
 Dominio di interazione nel piano V-M (*Gourvenec, 2007*)

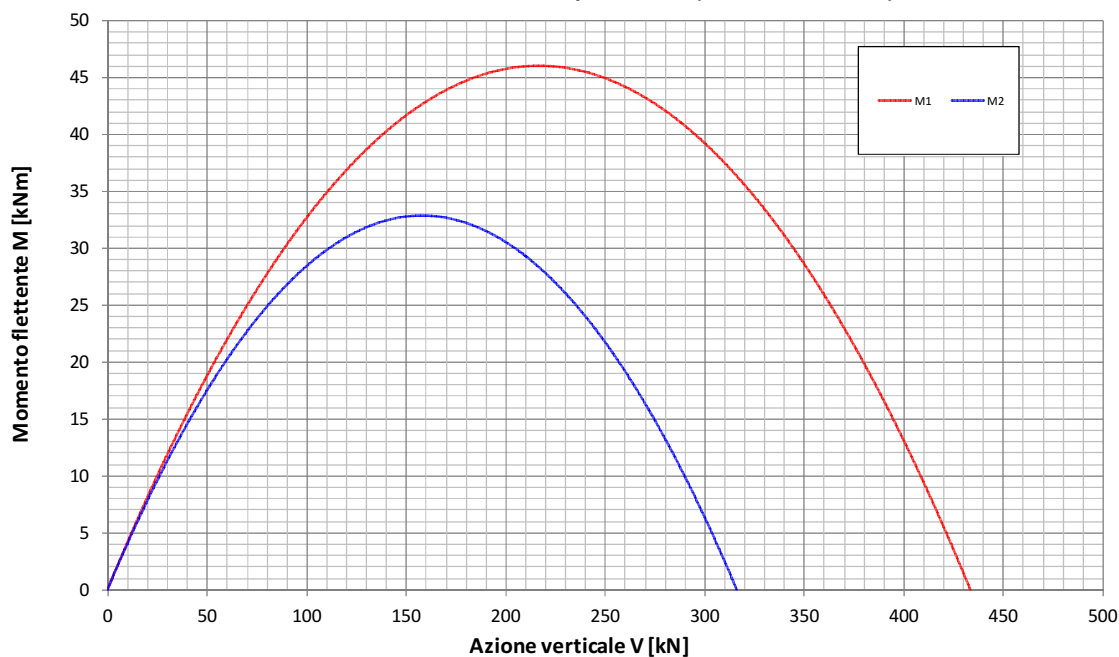


### 8.1.1.4 Diagrammi di interazione in Condizione Sismica

Fondazione B=1.2m - Approfondimento D=1.0m  
Condizione Sismica Non Drenata  
Dominio di interazione nel piano V-H (*Gourvenec, 2007*)



Fondazione B=1.2m - Approfondimento D=1.0m  
Condizione Sismica Non Drenata  
Dominio di interazione nel piano V-M (*Gourvenec, 2007*)



## 8.1.2. Fondazione di larghezza B = 1.80 m e approfondimento D = 1.00 m

### 8.1.2.1 Carichi limite finalizzati alla determinazione dei domini

Nella seguente tabella si riportano i valori di  $V_{max}$ ,  $H_{max}$ ,  $M_{max}$  di riferimento per le combinazioni di calcolo analizzate, parametri fondamentali per la costruzione dei domini di interazione. In particolare:

- $V_{max}$  rappresenta la capacità portante limite per condizioni di carico verticale centrato;
- $H_{max}$  è il carico orizzontale limite in assenza di carico verticale e momento flettente (determinabile esclusivamente in condizioni non drenate);
- $M_{max}$  rappresenta il momento flettente limite il corrispondenza di un carico verticale pari a  $0.5 \cdot V_{max}$ .

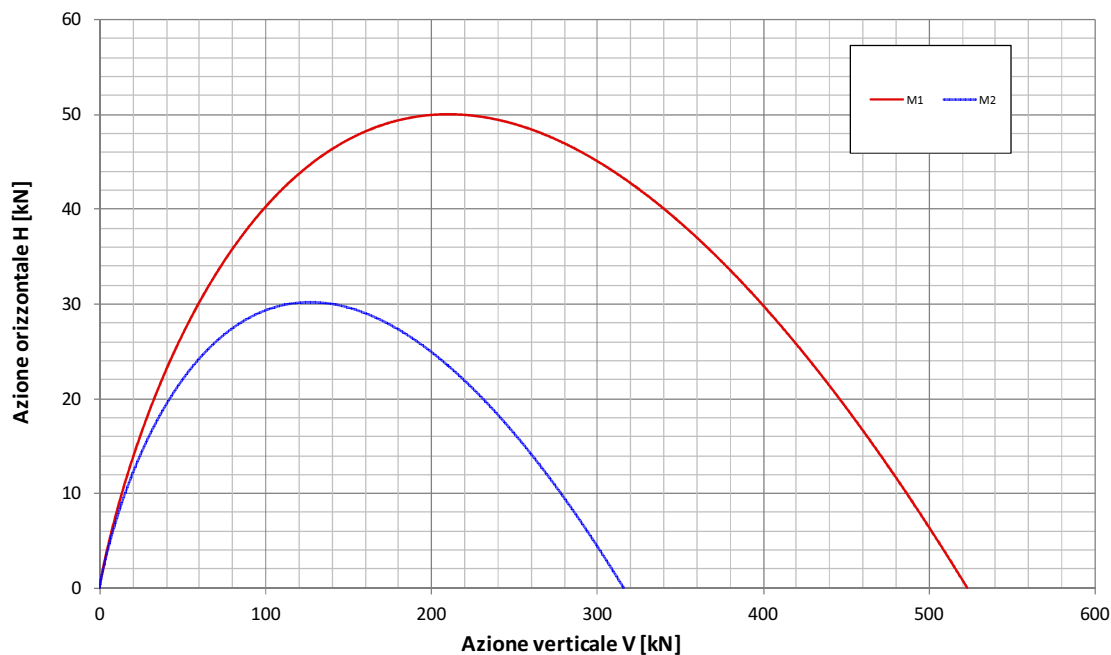
**TABELLA 8-3: CARICO LIMITE FINALIZZATI ALLA DETERMINAZIONE DEI DOMINI**

	Stat-D	Stat-U	Sisma
$V_{max,M1}$ [kN]	523	599	599
$H_{max,M1}$ [kN]	-	90	90
$M_{max,M1}$ [kNm]	-	104	104
$V_{max,M2}$ [kN]	315	437	437
$H_{max,M2}$ [kN]	-	64	64
$M_{max,M2}$ [kNm]	-	74	74

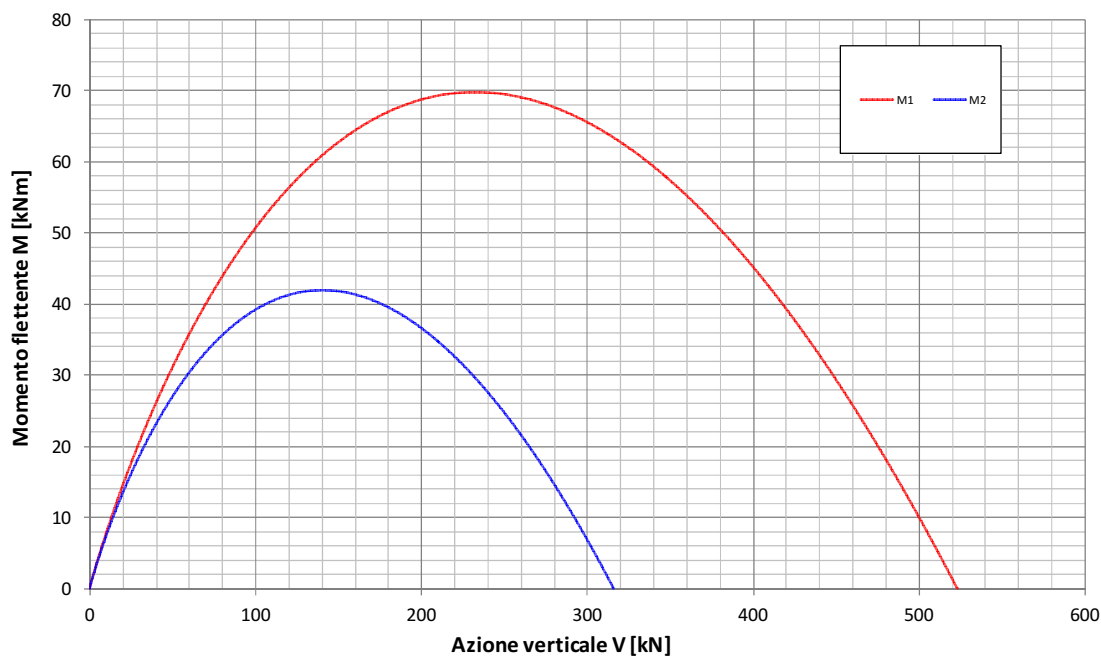
Nel caso in esame trattandosi di fondazioni nastriformi tutti i carichi indicati sono riferiti a un metro lineare di struttura.

### 8.1.2.2 Diagrammi di interazione in Condizione Statica Drenata

Fondazione B=1.8m - Approfondimento D=1.0m  
Condizione Statica Drenata  
Dominio di interazione nel piano V-H (*Brinch Hansen, 1970*)

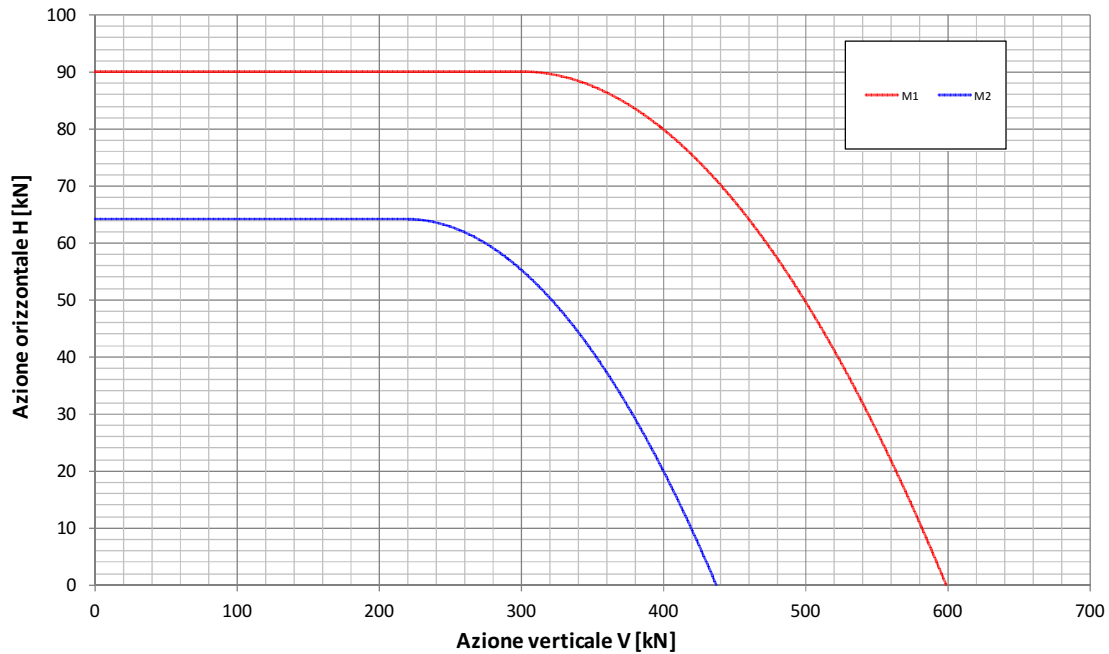


Fondazione B=1.8m - Approfondimento D=1.0m  
Condizione Statica Drenata  
Dominio di interazione nel piano V-M (*Meyerhof, 1953*)

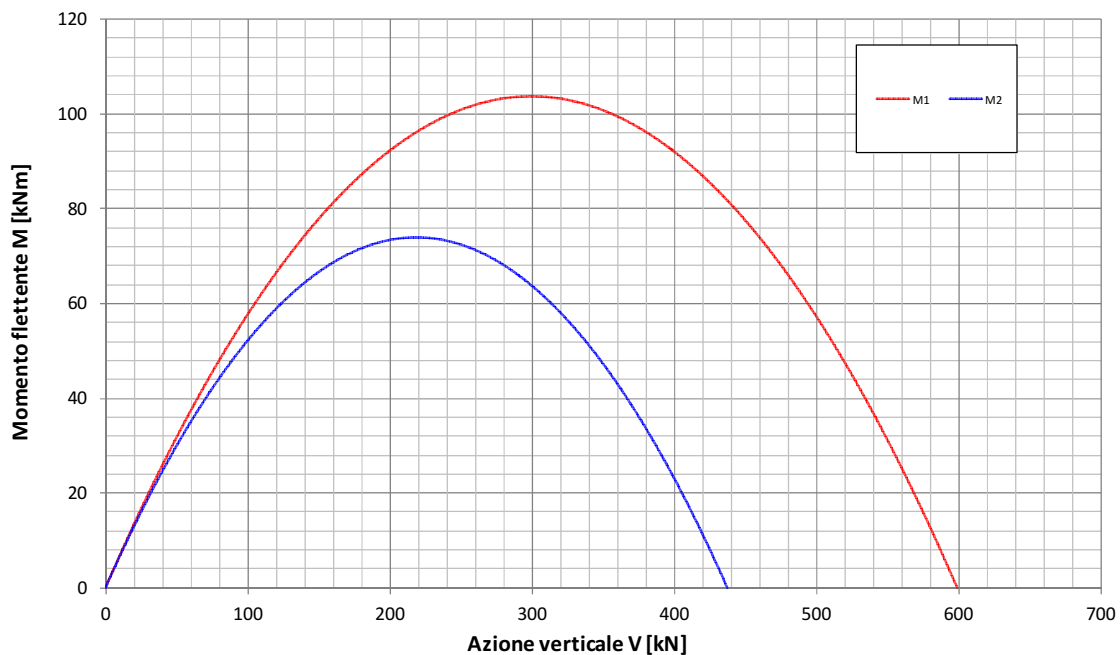


8.1.2.3 Diagrammi di interazione in Condizione Statica non drenata

Fondazione B=1.8m - Approfondimento D=1.0m  
Condizione Statica Non Drenata  
Dominio di interazione nel piano V-H (Gourvenec, 2007)

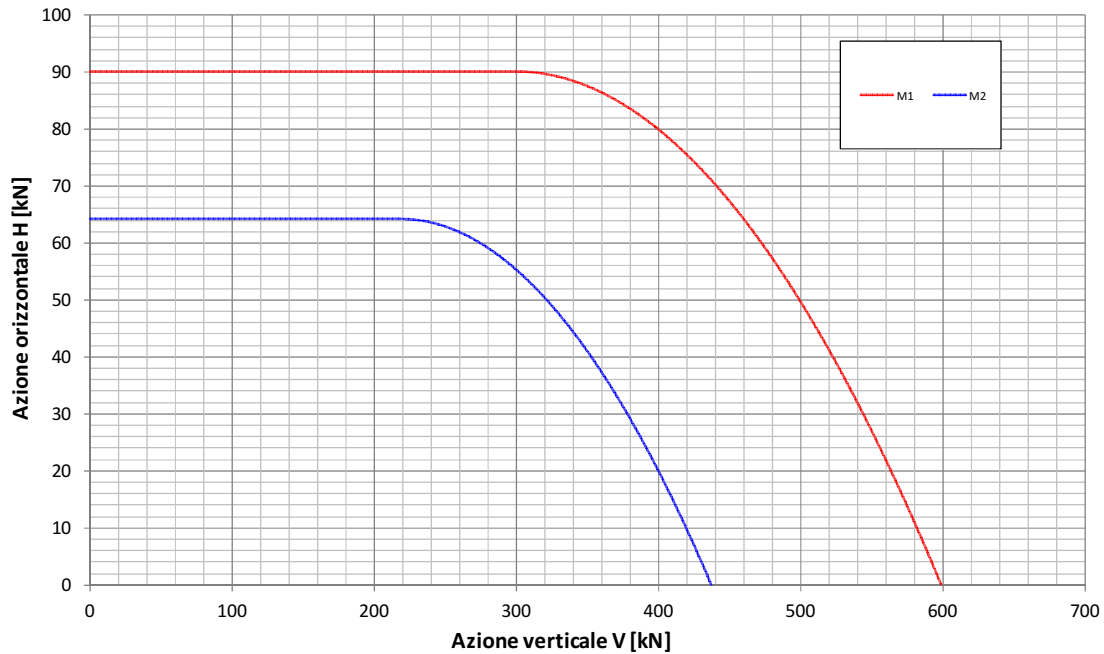


Fondazione B=1.8m - Approfondimento D=1.0m  
Condizione Statica Non Drenata  
Dominio di interazione nel piano V-M (Gourvenec, 2007)

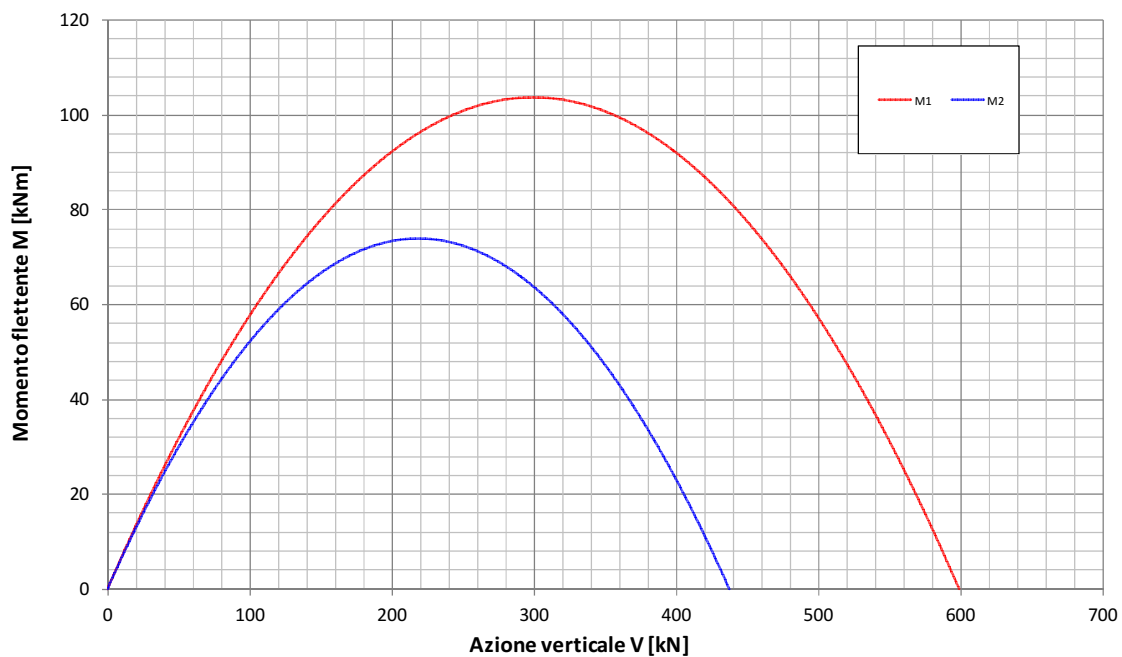


### 8.1.2.4 Diagrammi di interazione in Condizione Sismica

Fondazione B=1.8m - Approfondimento D=1.0m  
Condizione Sismica Non Drenata  
Dominio di interazione nel piano V-H (*Gourvenec, 2007*)



Fondazione B=1.8m - Approfondimento D=1.0m  
Condizione Sismica Non Drenata  
Dominio di interazione nel piano V-M (*Gourvenec, 2007*)



## 8.2. MANUFATTO SCATOLARE IN C.A. – CUNICOLO IMPIANTI

Nell'ambito dei fabbricati dell'autostazione è prevista la realizzazione di un cunicolo scatolare in c.a. adibito all'alloggiamento degli impianti. Tale manufatto ha dimensioni in pianta 5.0m x 80.0m (BxL).

Con riferimento a quanto indicato in Tabella 8-1 nel calcolo è stata considerata una fondazione nastriforme di larghezza  $B = 5.0$  m con approfondimento del piano di posa  $D=2.5$  m.

### 8.2.1. Carichi limite finalizzati alla determinazione dei domini

Nella seguente tabella si riportano i valori di  $V_{max}$ ,  $H_{max}$ ,  $M_{max}$  di riferimento per le combinazioni di calcolo analizzate, parametri fondamentali per la costruzione dei domini di interazione. In particolare:

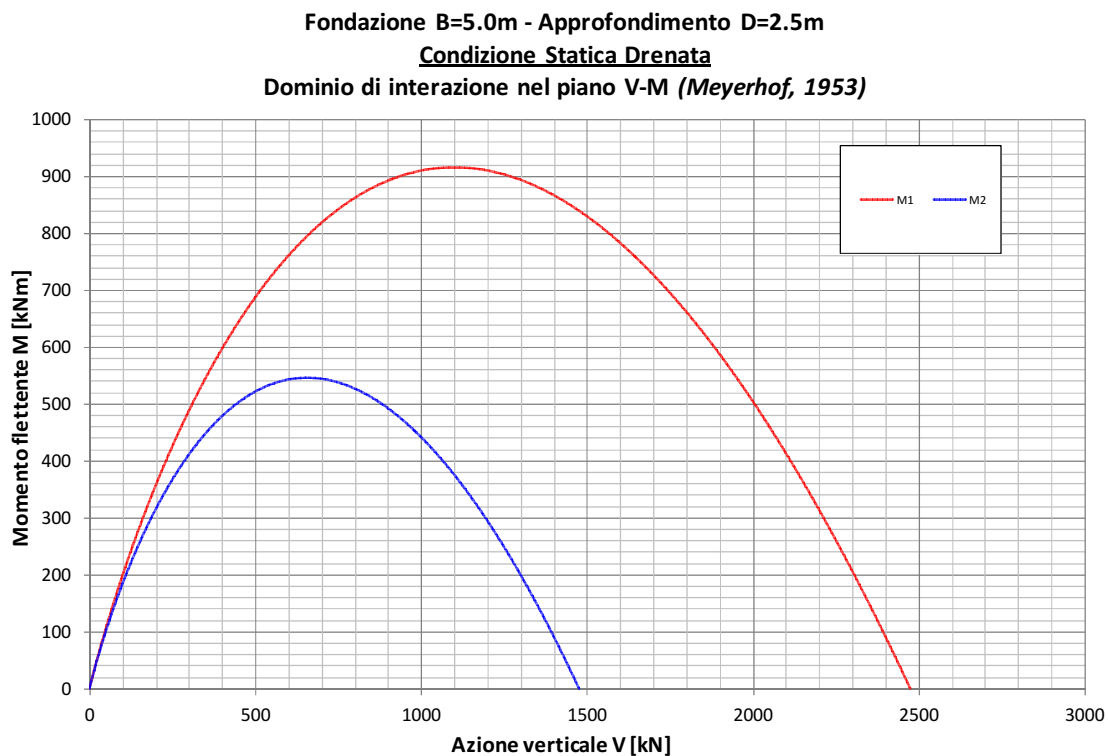
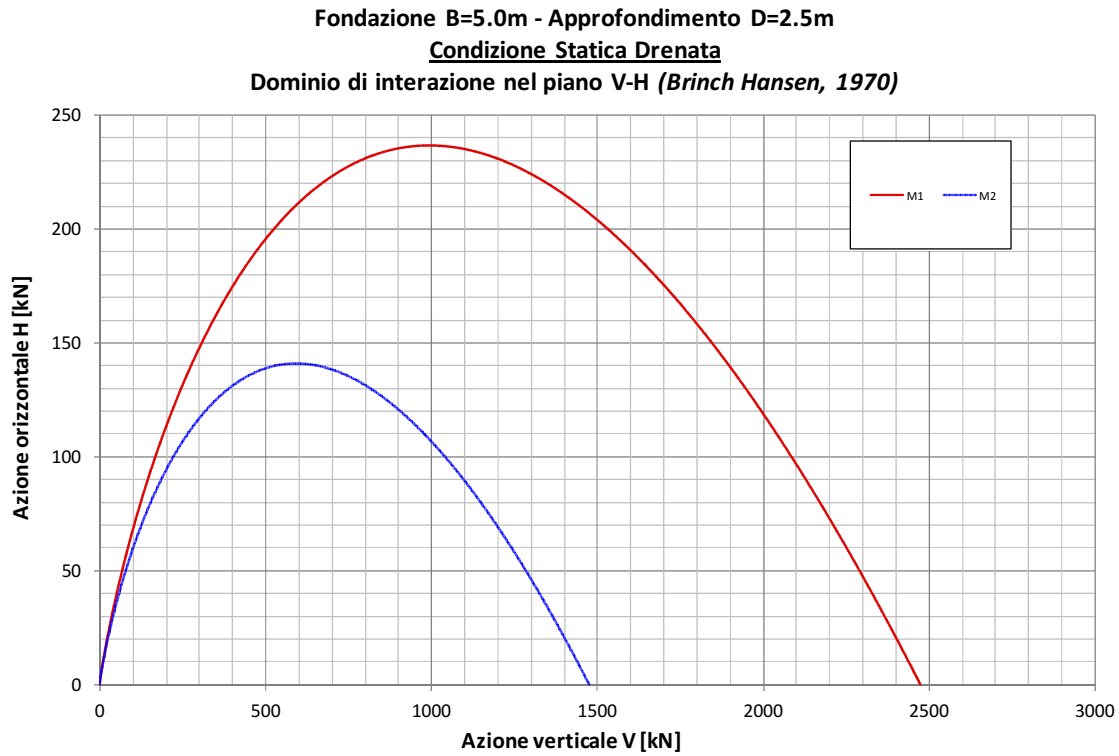
- $V_{max}$  rappresenta la capacità portante limite per condizioni di carico verticale centrato;
- $H_{max}$  è il carico orizzontale limite in assenza di carico verticale e momento flettente (determinabile esclusivamente in condizioni non drenate);
- $M_{max}$  rappresenta il momento flettente limite in corrispondenza di un carico verticale pari a  $0.5 \cdot V_{max}$ .

TABELLA 8-4: CARICO LIMITE FINALIZZATI ALLA DETERMINAZIONE DEI DOMINI

	Stat-D	Stat-U	Sisma
$V_{max,M1}$ [kN]	2471	1773	1773
$H_{max,M1}$ [kN]	-	250	250
$M_{max,M1}$ [kNm]	-	800	800
$V_{max,M2}$ [kN]	1476	1333	1333
$H_{max,M2}$ [kN]	-	179	179
$M_{max,M2}$ [kNm]	-	571	571

Nel caso in esame trattandosi di fondazioni nastriformi tutti i carichi indicati sono riferiti a un metro lineare di struttura.

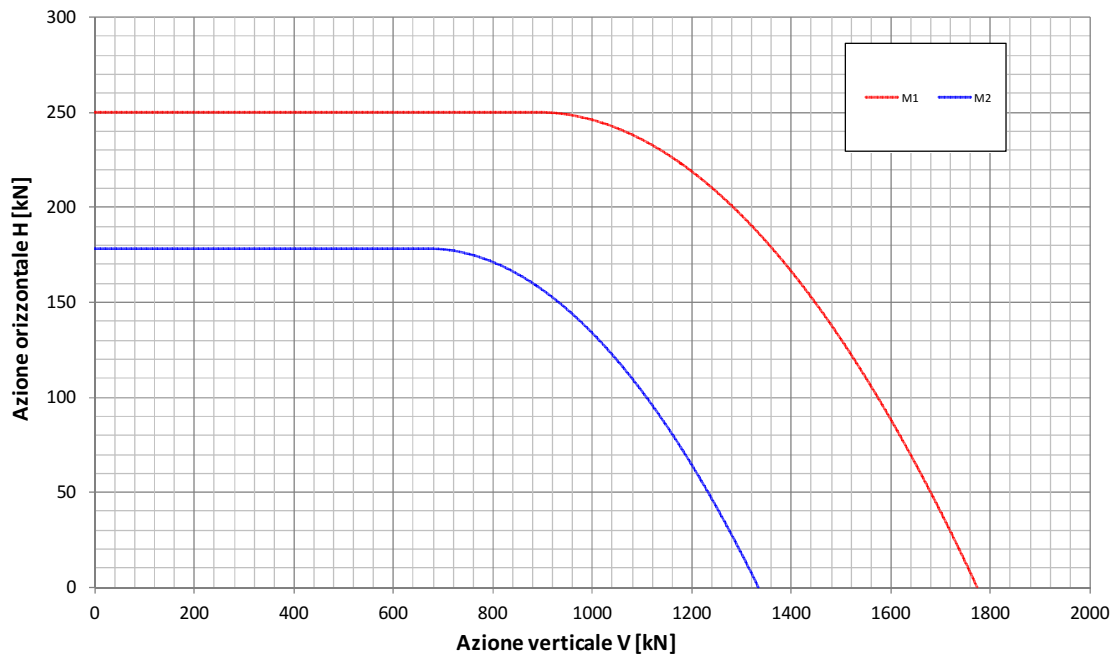
## 8.2.2. Diagrammi di interazione in Condizione Statica Drenata



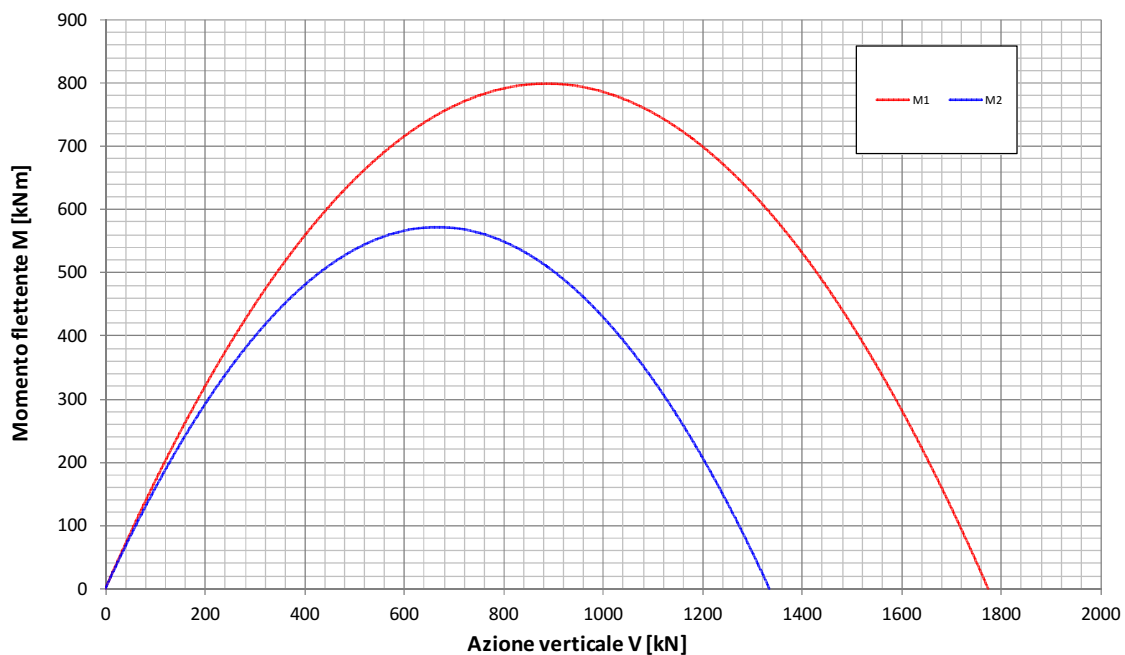


### 8.2.3. Diagrammi di interazione in Condizione Statica non drenata

Fondazione B=5.0m - Approfondimento D=2.5m  
Condizione Statica Non Drenata  
 Dominio di interazione nel piano V-H (*Gourvenec, 2007*)

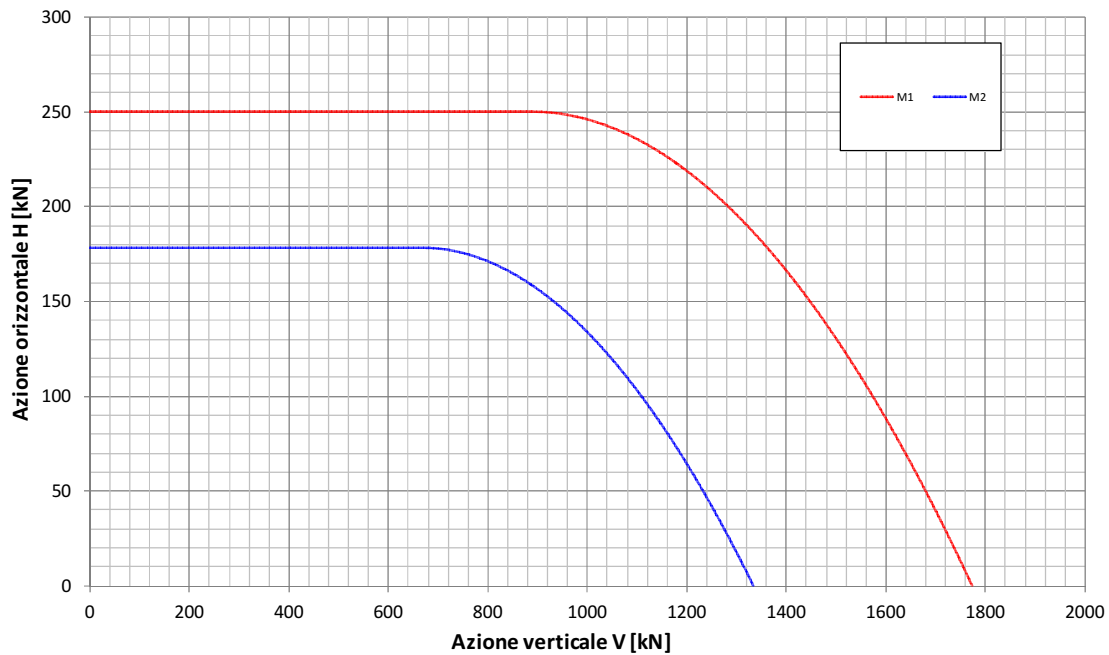


Fondazione B=5.0m - Approfondimento D=2.5m  
Condizione Statica Non Drenata  
 Dominio di interazione nel piano V-M (*Gourvenec, 2007*)

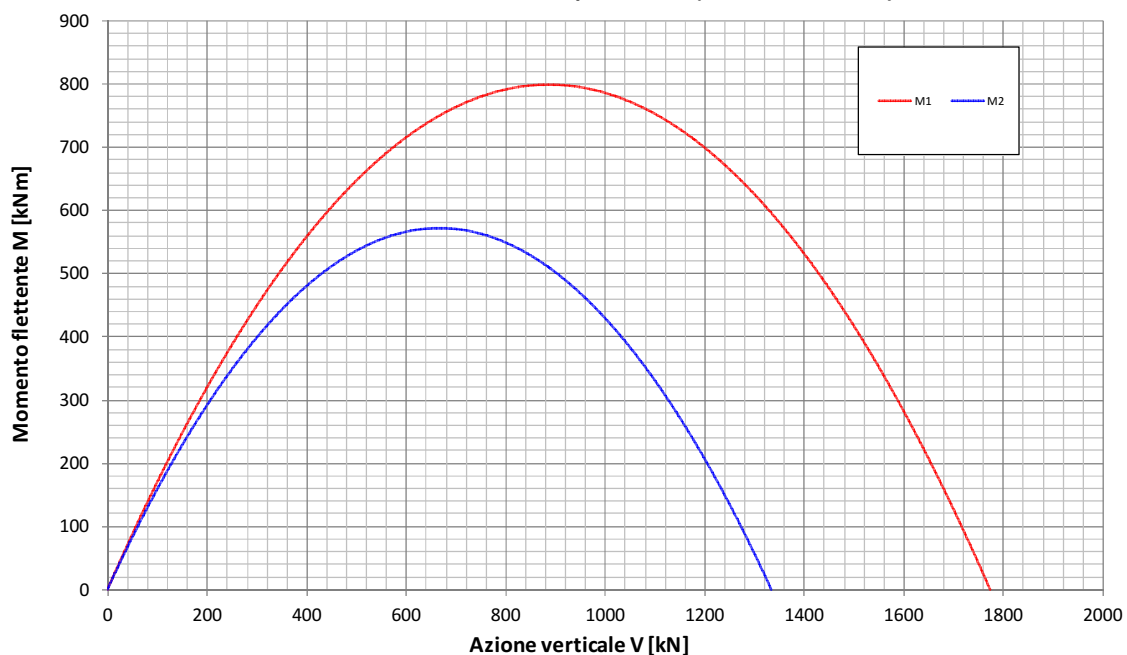


## 8.2.4. Diagrammi di interazione in Condizione Sismica

Fondazione B=5.0m - Approfondimento D=2.5m  
Condizione Sismica Non Drenata  
 Dominio di interazione nel piano V-H (*Gourvenec, 2007*)



Fondazione B=5.0m - Approfondimento D=2.5m  
Condizione Sismica Non Drenata  
 Dominio di interazione nel piano V-M (*Gourvenec, 2007*)



### 8.3. PENSILINA CON FONDAZIONI DIRETTE A TRAVI ROVESCE

Con riferimento a quanto indicato in Tabella 8-1 nel calcolo è stata considerata la seguente condizione geometrica:

- Larghezza della fondazione  $B = 3.50$  m e approfondimento del piano di posa della fondazione  $D = 2.50$  m.

#### 8.3.1. Carichi limite finalizzati alla determinazione dei domini

Nella seguente tabella si riportano i valori di  $V_{max}$ ,  $H_{max}$ ,  $M_{max}$  di riferimento per le combinazioni di calcolo analizzate, parametri fondamentali per la costruzione dei domini di interazione. In particolare:

- $V_{max}$  rappresenta la capacità portante limite per condizioni di carico verticale centrato;
- $H_{max}$  è il carico orizzontale limite in assenza di carico verticale e momento flettente (determinabile esclusivamente in condizioni non drenate);
- $M_{max}$  rappresenta il momento flettente limite in corrispondenza di un carico verticale pari a  $0.5 \cdot V_{max}$ .

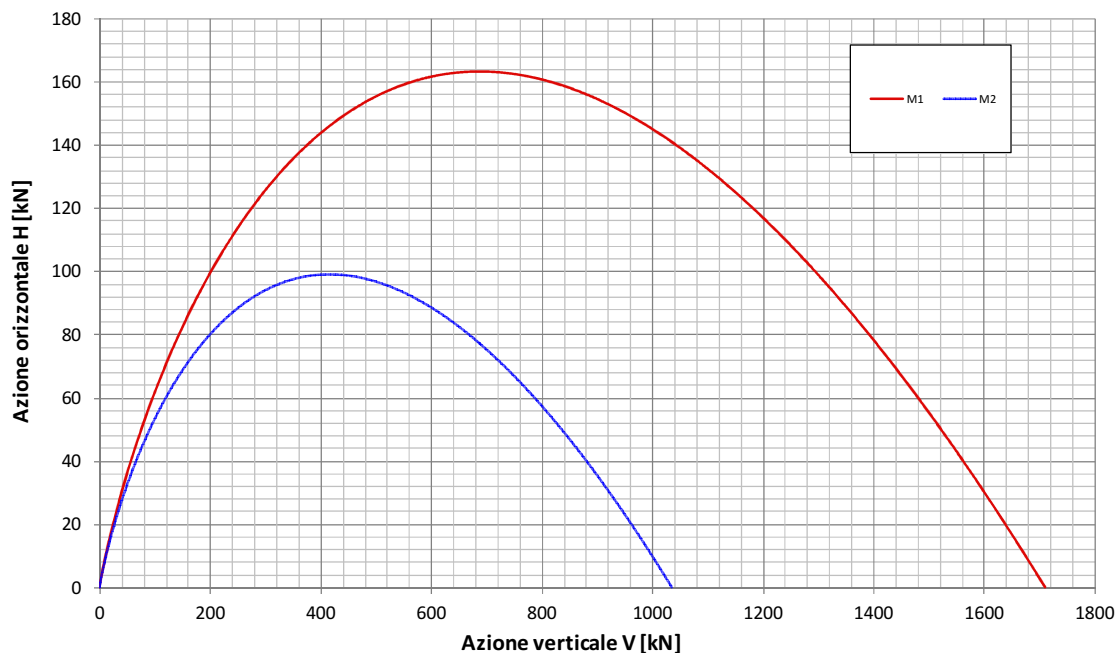
TABELLA 8-5: CARICO LIMITE FINALIZZATI ALLA DETERMINAZIONE DEI DOMINI

	Stat-D	Stat-U	Sisma
$V_{max,M1}$ [kN]	1709	1318	1318
$H_{max,M1}$ [kN]	-	175	175
$M_{max,M1}$ [kNm]	-	392	392
$V_{max,M2}$ [kN]	1035	988	988
$H_{max,M2}$ [kN]	-	125	125
$M_{max,M2}$ [kNm]	-	280	280

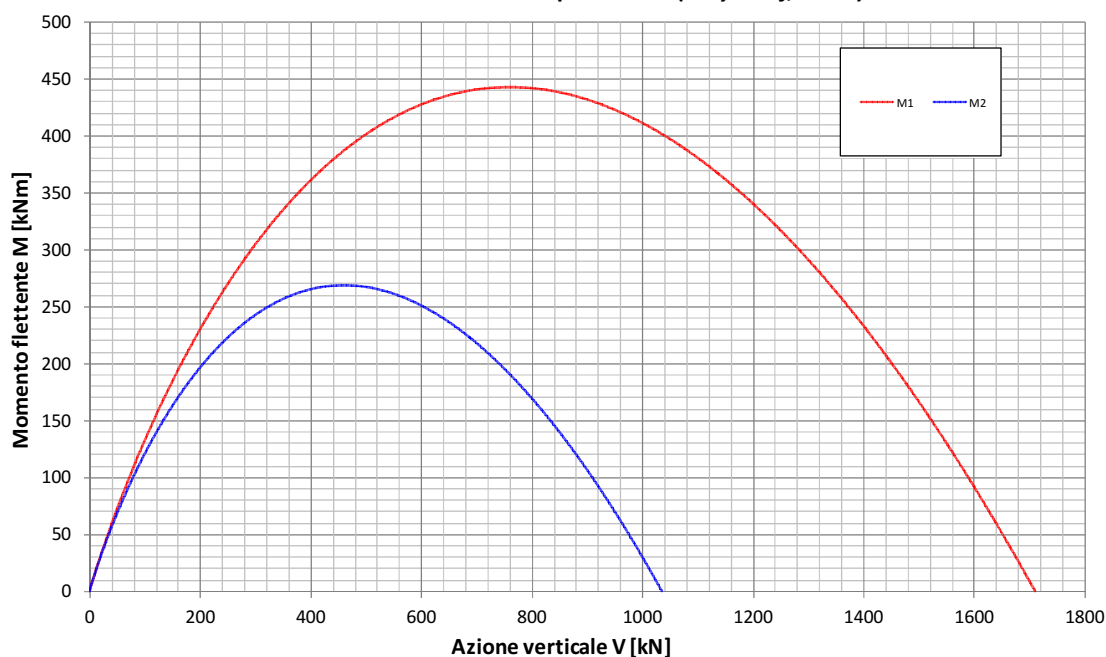
Nel caso in esame trattandosi di fondazioni nastriformi tutti i carichi indicati sono riferiti a un metro lineare di struttura.

### 8.3.2. Diagrammi di interazione in Condizione Statica Drenata

Fondazione B=3.5m - Approfondimento D=2.5m  
Condizione Statica Drenata  
Dominio di interazione nel piano V-H (*Brinch Hansen, 1970*)

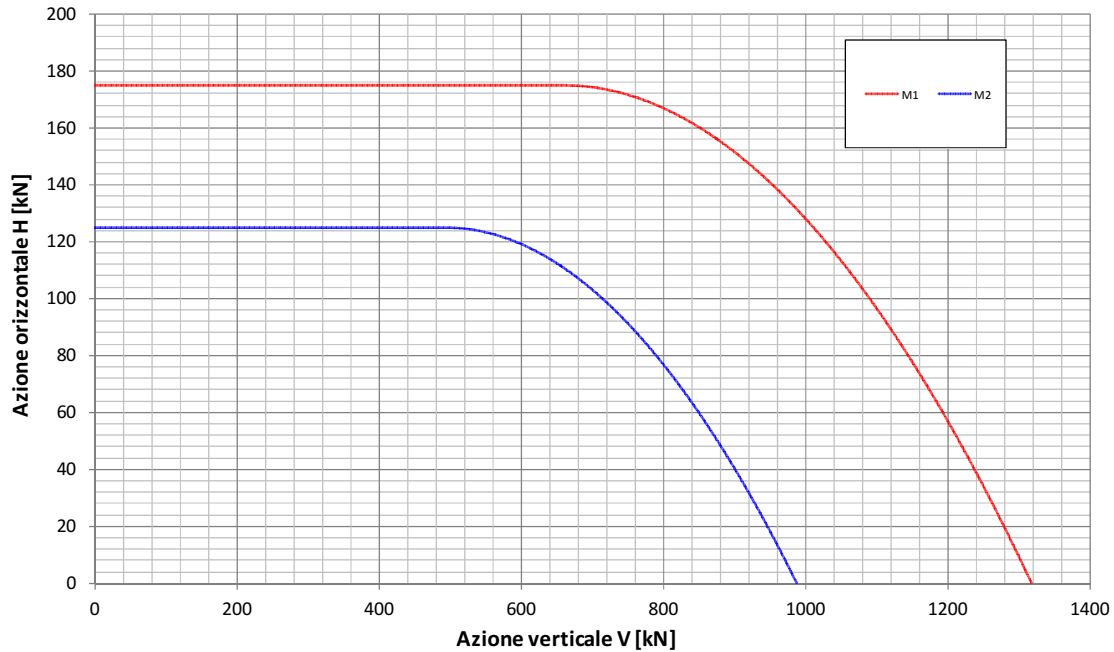


Fondazione B=3.5m - Approfondimento D=2.5m  
Condizione Statica Drenata  
Dominio di interazione nel piano V-M (*Meyerhof, 1953*)

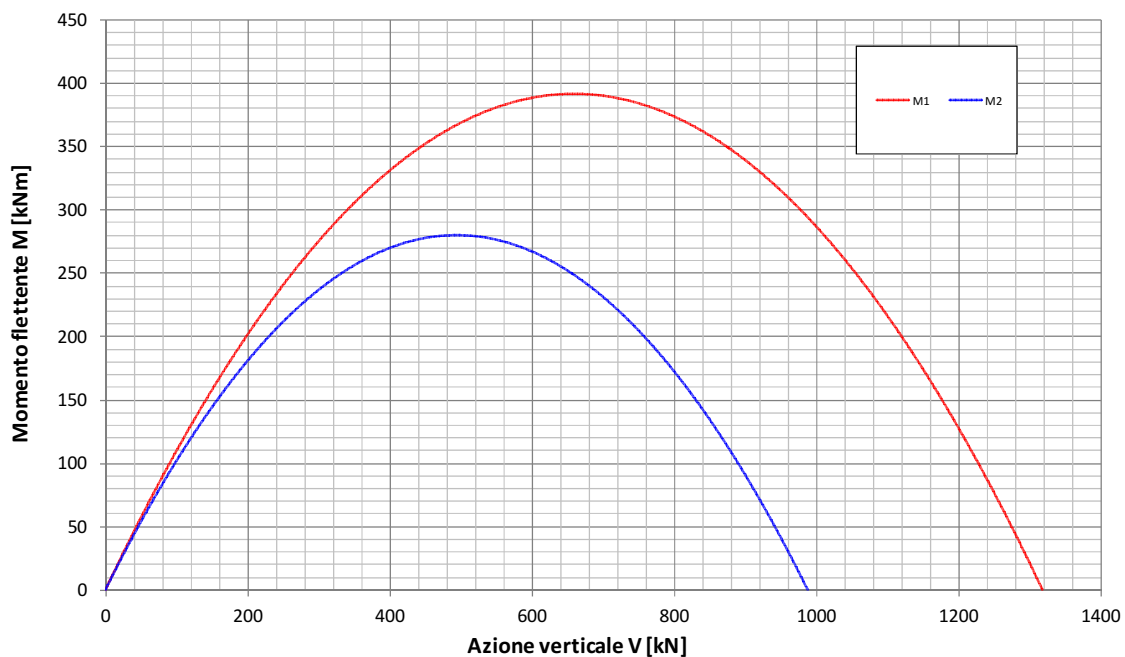


### 8.3.3. Diagrammi di interazione in Condizione Statica non drenata

Fondazione B=3.5m - Approfondimento D=2.5m  
Condizione Statica Non Drenata  
 Dominio di interazione nel piano V-H (*Gourvenec, 2007*)

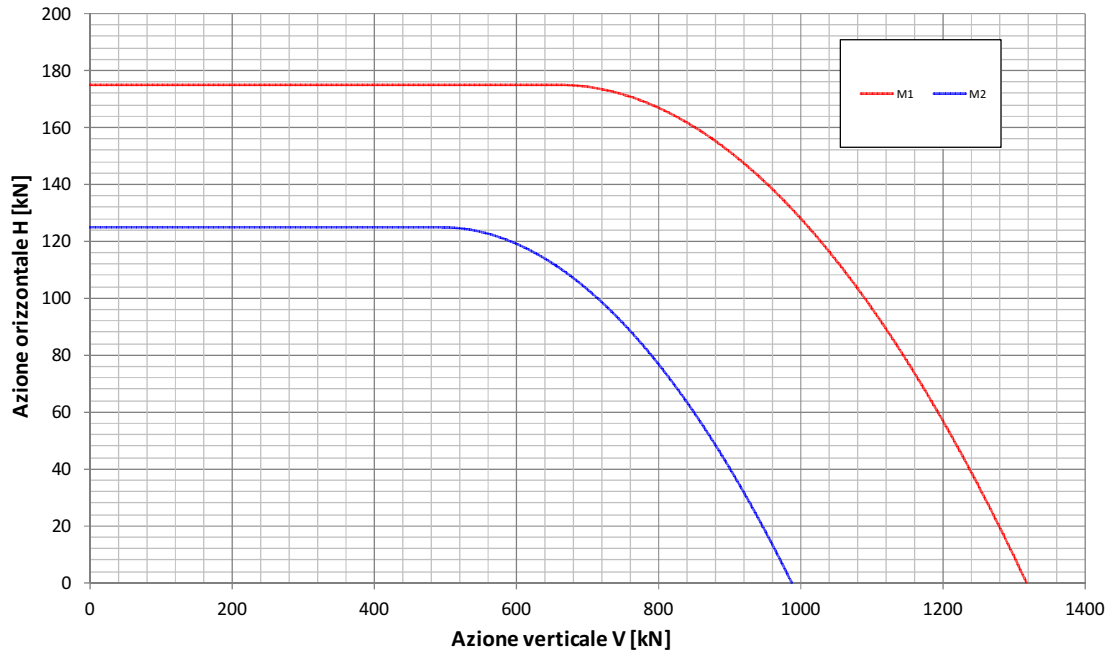


Fondazione B=3.5m - Approfondimento D=2.5m  
Condizione Statica Non Drenata  
 Dominio di interazione nel piano V-M (*Gourvenec, 2007*)

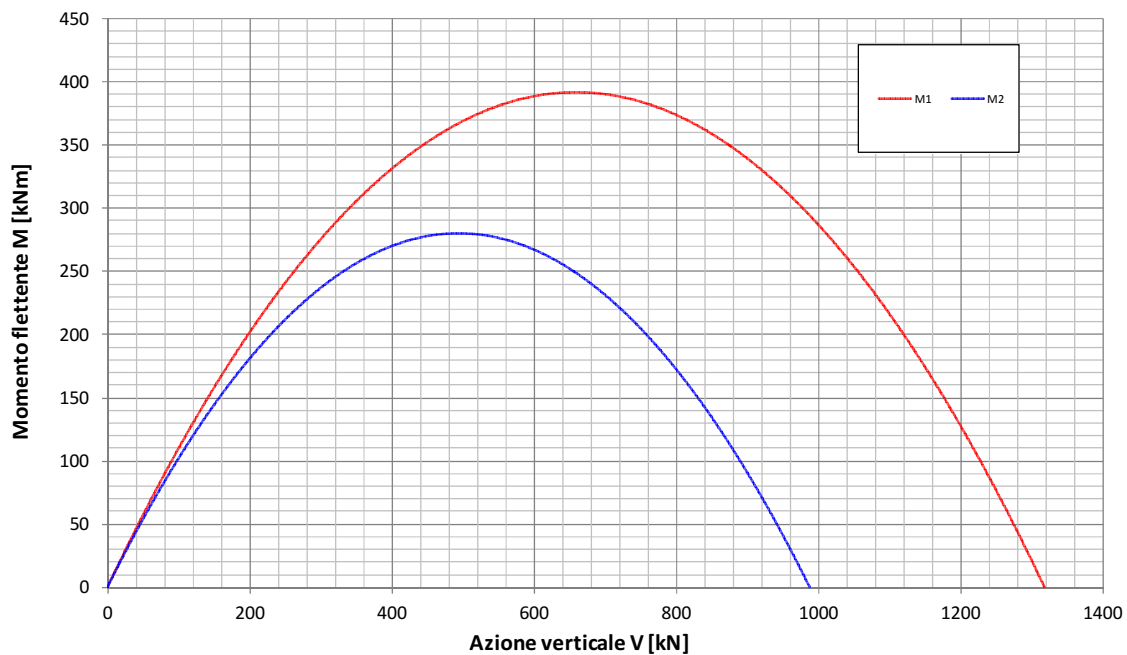


### 8.3.4. Diagrammi di interazione in Condizione Sismica

Fondazione B=3.5m - Approfondimento D=2.5m  
Condizione Sismica Non Drenata  
Dominio di interazione nel piano V-H (Gourvenec, 2007)



Fondazione B=3.5m - Approfondimento D=2.5m  
Condizione Sismica Non Drenata  
Dominio di interazione nel piano V-M (Gourvenec, 2007)



## 9. PRESSIONE DI CONTATTO LIMITE DI PROGETTO TRA TERRENO E FONDAZIONE

Nel presente capitolo si riportano i risultati dei calcoli per la determinazione della pressione limite di progetto a seconda del rapporto tra la risultante delle azioni orizzontali (H) e la risultante delle azioni verticali (V); si trascurano, in quanto non noti, gli eventuali momenti flettenti e, di conseguenza, gli effetti dell'eccentricità del carico.

Tali risultati sono validi solo nel caso in cui la risultante del carico sia centrata ovvero applicata in corrispondenza del baricentro della fondazione (condizione di assenza di momento flettente). Al fine di effettuare la verifica di capacità portante in modo rigoroso, il progettista strutturale potrà ricorrere alla metodologia illustrata al capitolo 0

Il calcolo è stato condotto secondo il seguente approccio con riferimento al DM 14/01/2008 Par.6.4.2:

- Approccio 1: combinazioni A1+M1+R1 e A2+M2+R2;

nelle seguenti condizioni di calcolo:

- Condizione statica a breve termine (calcolo in termini di parametri non drenati delle unità coesive);
- Condizione statica a lungo termine (calcolo in termini di parametri drenati dei terreni);
- Condizione sismica (calcolo in termini di parametri non drenati delle unità coesive).

Per tener conto della dipendenza della verifica dall'inclinazione del carico, il calcolo è stato condotto ipotizzando che H possa assumere i seguenti valori:

- nel calcolo statico:
  - $H = 0\% V$ ;
  - $H = 10\% V$ ;
  - $H = 20\% V$ ;
- nel calcolo sismico:
  - $H = 10\% V$ ;
  - $H = 20\% V$ ;
  - $H = 30\% V$ .

Per valori di H compresi negli intervalli suddetti si ritiene ammissibile determinare la pressione di contatto limite mediante interpolazione.

## 9.1. FABBRICATI DI SERVIZIO CON FONDAZIONI DIRETTE A TRAVI ROVESCE

Nel calcolo sono state considerate le 2 seguenti condizioni geometriche:

- Larghezza della fondazione  $B = 1.20$  m e approfondimento del piano di posa della fondazione  $D = 1.00$  m;
- Larghezza della fondazione  $B = 1.80$  m e approfondimento del piano di posa della fondazione  $D = 1.00$  m.

### 9.1.1. Fondazione di larghezza $B = 1.20$ m e approfondimento $D = 1.00$ m

In Tabella 9-1 e Tabella 9-2 e nel corrispondente grafico di Figura 9-1 si riportano i risultati del calcolo in condizione statica.

TABELLA 9-1: PRESSIONE DI CONTATTO LIMITE DI PROGETTO –  $B = 1.20$  m –  $D = 1.00$  m – CONDIZIONE STATICA DRENATA

Statica drenata		
H/V [%]	$q_{Rd-A1-C1-drenata}$ [kPa]	$q_{Rd-A1-C2-drenata}$ [kPa]
0	296	100
10	230	78
20	176	59

TABELLA 9-2: PRESSIONE DI CONTATTO LIMITE DI PROGETTO –  $B = 1.20$  m –  $D = 1.00$  m – CONDIZIONE STATICA NON DRENATA

Statica non drenata		
H/V [%]	$q_{Rd-A1-C1-non\ drenata}$ [kPa]	$q_{Rd-A1-C2-non\ drenata}$ [kPa]
0	361	146
10	350	140
20	338	133



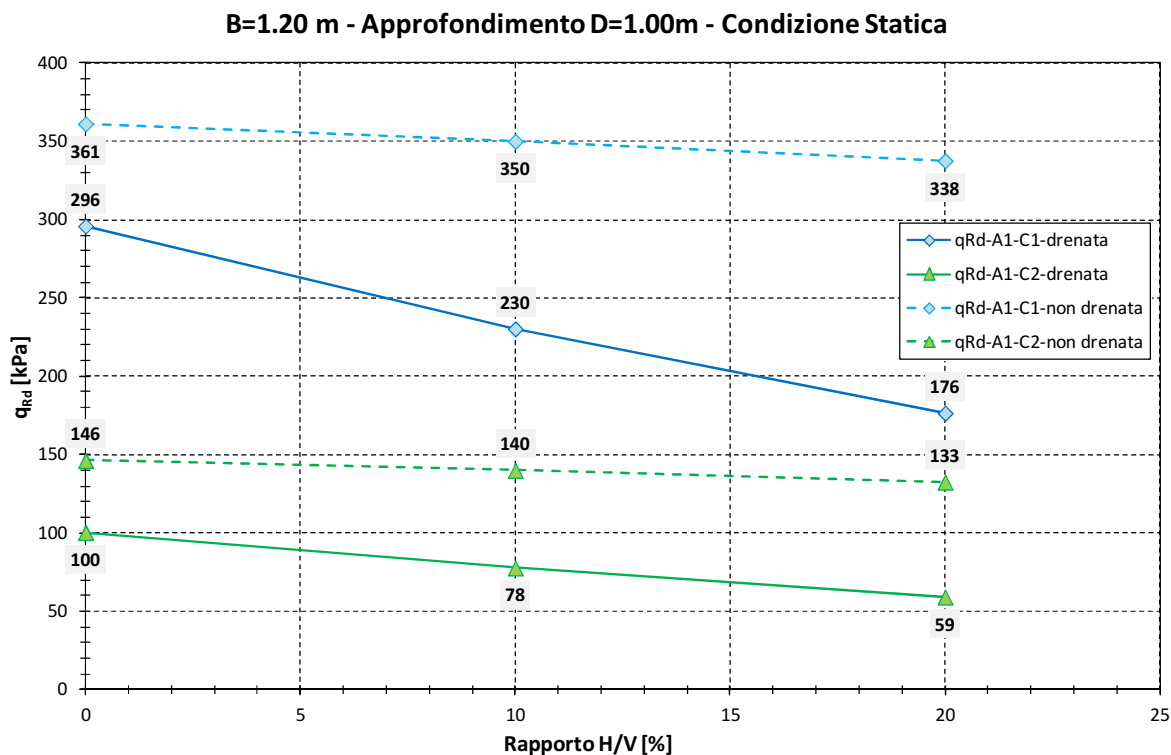


FIGURA 9-1: PRESSIONE DI CONTATTO LIMITE DI PROGETTO – B = 1.20 M – D = 1.00 M – CONDIZIONE STATICA

In Tabella 9-3 e nel corrispondente grafico di Figura 9-2 si riportano i risultati del calcolo in condizione sismica.

TABELLA 9-3: PRESSIONE DI CONTATTO LIMITE DI PROGETTO – B = 1.20 M – D = 1.00 M – CONDIZIONE SISMICA

Sismica non drenata		
H/V [%]	q <sub>Rd-A1-C1-non drenata</sub> [kPa]	q <sub>Rd-A1-C2-non drenata</sub> [kPa]
10	350	140
20	338	133
30	324	123

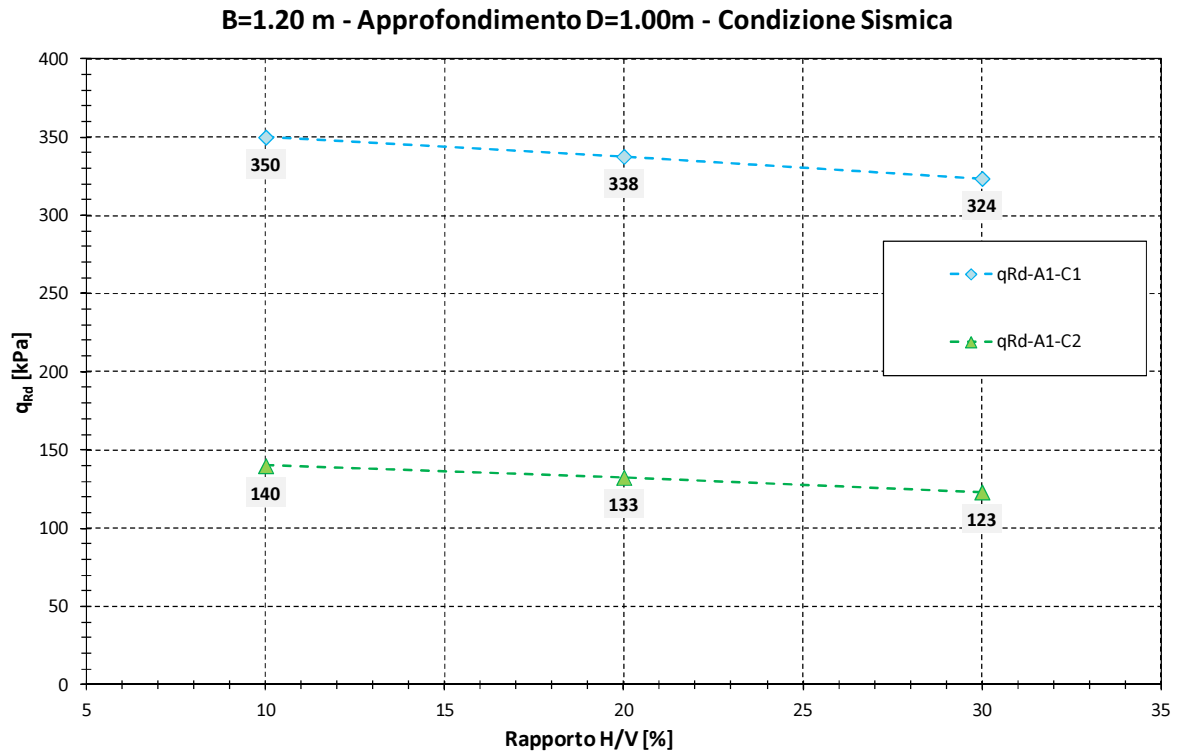


FIGURA 9-2: PRESSIONE DI CONTATTO LIMITE DI PROGETTO – B = 1.20 m – D = 1.00 m – CONDIZIONE SISMICA

## 9.1.2. Fondazione di larghezza $B = 1.80$ m e approfondimento $D = 1.00$ m

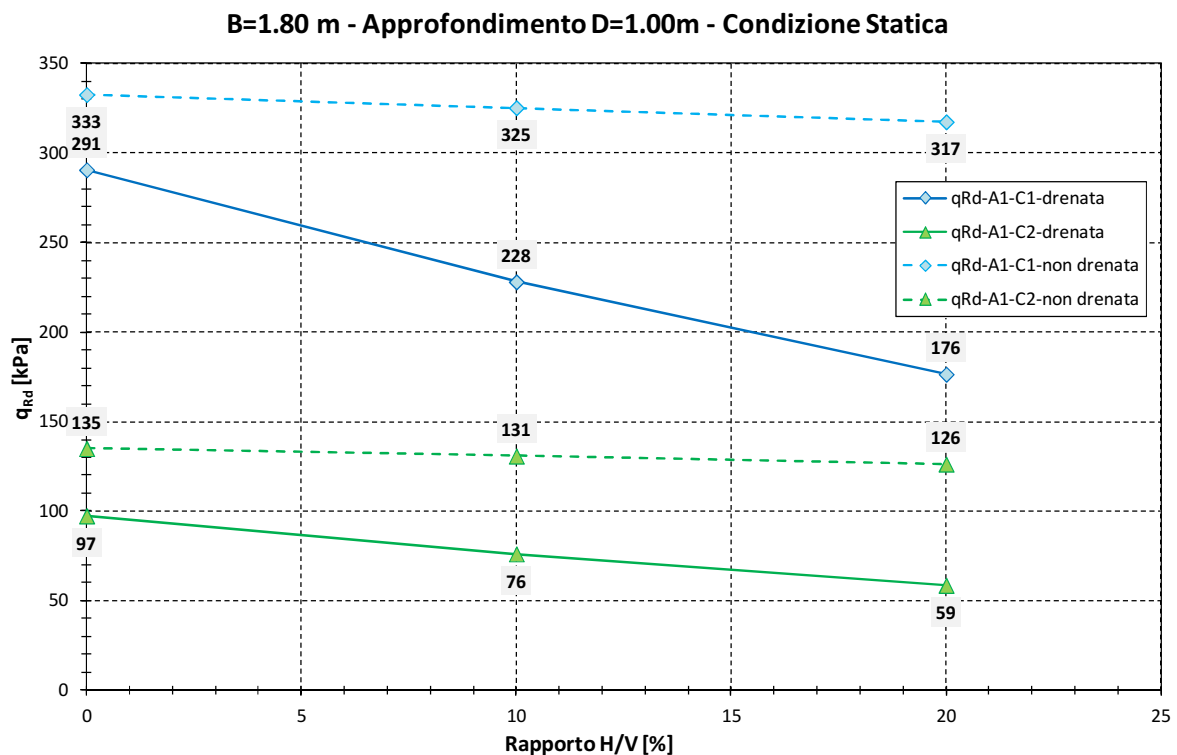
In Tabella 9-4 e Tabella 9-5 e nel corrispondente grafico di Figura 9-3 si riportano i risultati del calcolo in condizione statica.

**TABELLA 9-4: PRESSIONE DI CONTATTO LIMITE DI PROGETTO –  $B = 1.80$  m –  $D = 1.00$  m – CONDIZIONE STATICA DRENATA**

Statica drenata		
T/N [%]	$q_{Rd-A1-C1-drenata}$ [kPa]	$q_{Rd-A1-C2-drenata}$ [kPa]
0	291	97
10	228	76
20	176	59

**TABELLA 9-5: PRESSIONE DI CONTATTO LIMITE DI PROGETTO –  $B = 1.80$  m –  $D = 1.00$  m – CONDIZIONE STATICA NON DRENATA**

Statica non drenata		
T/N [%]	$q_{Rd-A1-C1-non drenata}$ [kPa]	$q_{Rd-A1-C2-non drenata}$ [kPa]
0	333	135
10	325	131
20	317	126



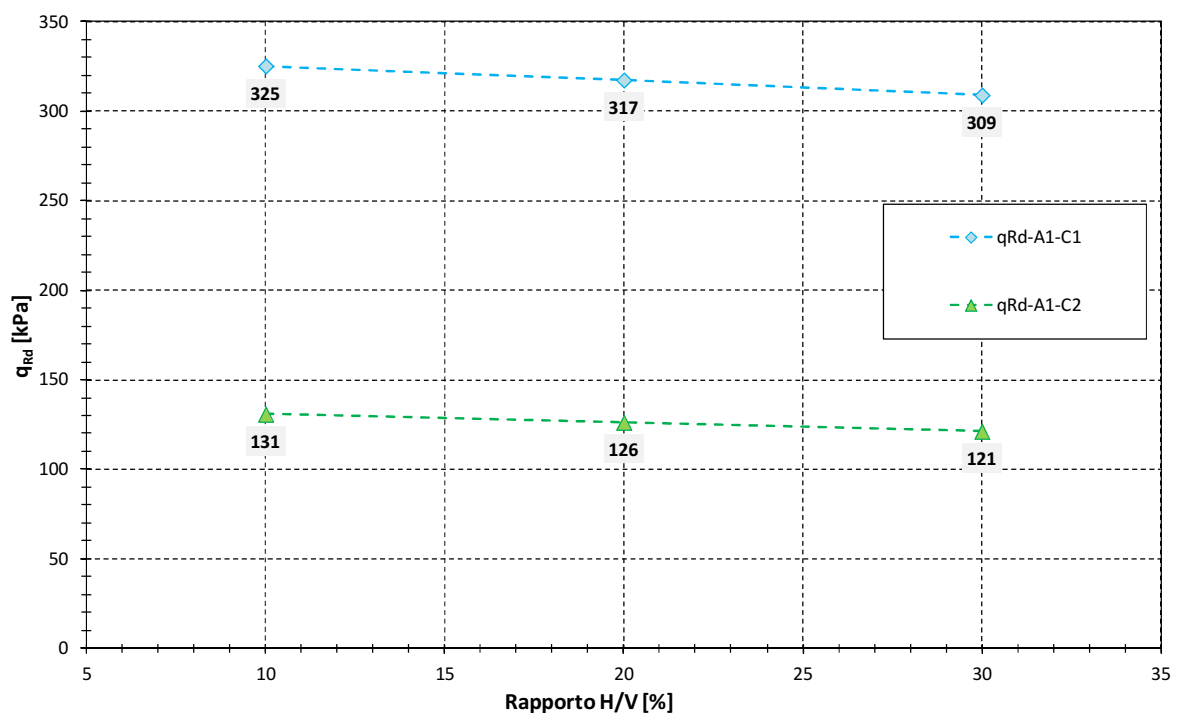
**FIGURA 9-3: PRESSIONE DI CONTATTO LIMITE DI PROGETTO – B = 1.80 M – D = 1.00 M – CONDIZIONE STATICA**

In Tabella 9-6 e nel corrispondente grafico di Figura 9-4 si riportano i risultati del calcolo in condizione sismica.

**TABELLA 9-6: PRESSIONE DI CONTATTO LIMITE DI PROGETTO – B = 1.80 M – D = 1.00 M – CONDIZIONE SISMICA**

Sismica non drenata		
T/N [%]	$q_{Rd-A1-C1-non\ drenata}$ [kPa]	$q_{Rd-A1-C2-non\ drenata}$ [kPa]
10	325	131
20	317	126
30	309	121

**B=1.80 m - Approfondimento D=1.00m - Condizione Sismica**



**FIGURA 9-4: PRESSIONE DI CONTATTO LIMITE DI PROGETTO – B = 1.80 M – D = 1.00 M – CONDIZIONE SISMICA**

## 9.2. MANUFATTO SCATOLARE IN C.A. – CUNICOLO IMPIANTI

Nell'ambito dei fabbricati dell'autostazione è prevista la realizzazione di un cunicolo scatolare in c.a. adibito all'alloggiamento degli impianti. Tale manufatto ha dimensioni in pianta 5.0m x 80.0m (BxL).

Con riferimento a quanto indicato in Tabella 8-1 nel calcolo è stata considerata una fondazione nastriforme di larghezza  $B = 5.0$  m con approfondimento del piano di posa  $D=2.5$  m.

In Tabella 9-7 e in Tabella 9-8 e nel corrispondente grafico di Figura 9-5 si riportano i risultati del calcolo in condizione statica.

**TABELLA 9-7: PRESSIONE DI CONTATTO LIMITE DI PROGETTO – B = 5.00 M – D = 2.50 M – CONDIZIONE STATICA DRENATA**

Statica drenata		
T/N [%]	$q_{Rd-A1-C1-drenata}$ [kPa]	$q_{Rd-A1-C2-drenata}$ [kPa]
0	494	164
10	407	135
20	332	110

**TABELLA 9-8: PRESSIONE DI CONTATTO LIMITE DI PROGETTO – B = 5.00 M – D = 2.50 M - CONDIZIONE STATICA NON DRENATA**

Statica non drenata		
T/N [%]	$q_{Rd-A1-C1-non\ drenata}$ [kPa]	$q_{Rd-A1-C2-non\ drenata}$ [kPa]
0	355	148
10	352	147
20	349	145

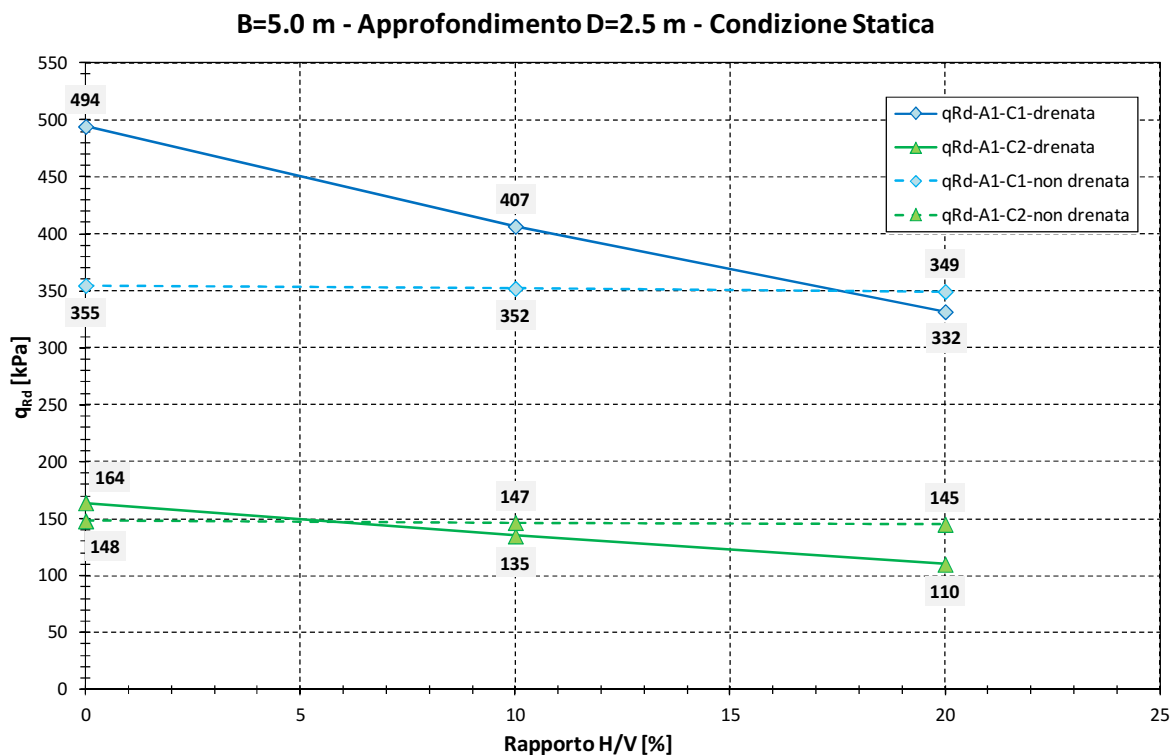


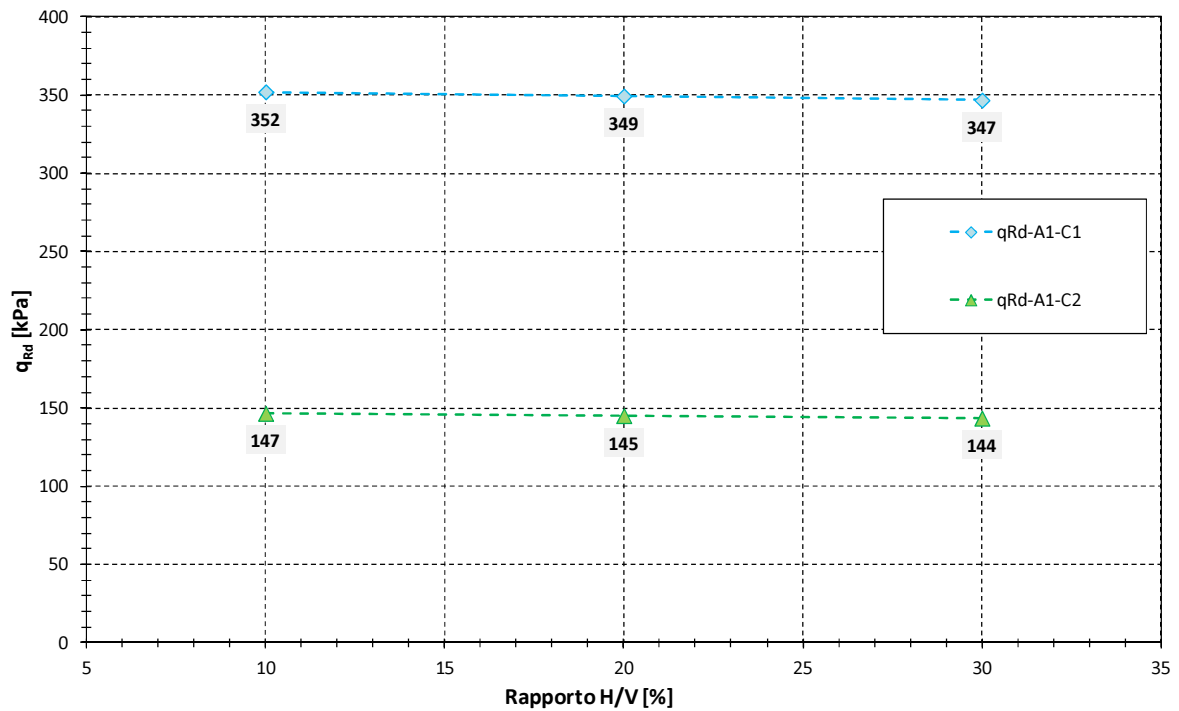
FIGURA 9-5: PRESSIONE DI CONTATTO LIMITE DI PROGETTO – B = 5.00 M – D = 2.50 M – CONDIZIONE STATICA

In Tabella 9-9 e nel corrispondente grafico di Figura 9-6 si riportano i risultati del calcolo in condizione sismica.

TABELLA 9-9: PRESSIONE DI CONTATTO LIMITE DI PROGETTO – B = 5.00 M – D = 2.50 M – CONDIZIONE SISMICA

Sismica non drenata		
T/N [%]	q <sub>Rd</sub> -A1-C1-non drenata [kPa]	q <sub>Rd</sub> -A1-C2-non drenata [kPa]
10	352	147
20	349	145
30	347	144

**B=5.0 m - Approfondimento D=2.5 - Condizione Sismica**



**FIGURA 9-6: PRESSIONE DI CONTATTO LIMITE DI PROGETTO – B = 5.00 m – D = 2.50 m – CONDIZIONE SISMICA**

### 9.3. STRUTTURE DI FONDAZIONE DELLA PENSILINA

Con riferimento a quanto indicato in Tabella 8-1 nel calcolo è stata considerata la seguente condizione geometrica:

- Larghezza della fondazione  $B = 3.50$  m e approfondimento del piano di posa della fondazione  $D = 2.50$  m.

In Tabella 9-10 e Tabella 9-11 e nel corrispondente grafico di Figura 9-7 si riportano i risultati del calcolo in condizione statica.

**TABELLA 9-10: PRESSIONE DI CONTATTO LIMITE DI PROGETTO –  $B = 3.50$  M –  $D = 2.50$  M – CONDIZIONE STATICA DRENATA**

Statica drenata		
T/N [%]	$q_{Rd-A1-C1-drenata}$ [kPa]	$q_{Rd-A1-C2-drenata}$ [kPa]
0	488	164
10	395	133
20	317	106

**TABELLA 9-11: PRESSIONE DI CONTATTO LIMITE DI PROGETTO –  $B = 3.50$  M –  $D = 2.50$  M - CONDIZIONE STATICA NON DRENATA**

Statica non drenata		
T/N [%]	$q_{Rd-A1-C1-non drenata}$ [kPa]	$q_{Rd-A1-C2-non drenata}$ [kPa]
0	377	157
10	373	155
20	369	153



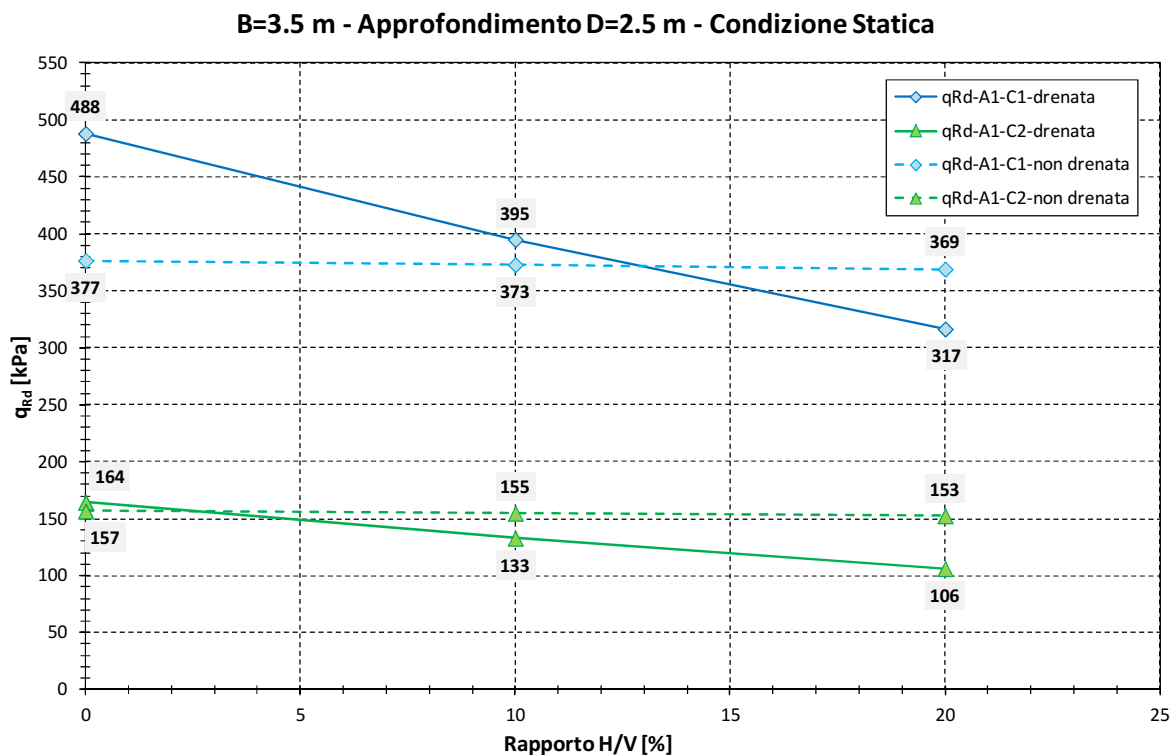


FIGURA 9-7: PRESSIONE DI CONTATTO LIMITE DI PROGETTO – B = 3.50 M – D = 2.50 M – CONDIZIONE STATICA

In Tabella 9-12 e nel corrispondente grafico di Figura 9-8 si riportano i risultati del calcolo in condizione sismica.

TABELLA 9-12: PRESSIONE DI CONTATTO LIMITE DI PROGETTO – B = 3.50 M – D = 2.50 M – CONDIZIONE SISMICA

Sismica non drenata		
T/N [%]	q <sub>Rd</sub> -A1-C1-non drenata [kPa]	q <sub>Rd</sub> -A1-C2-non drenata [kPa]
10	373	155
20	369	153
30	365	150

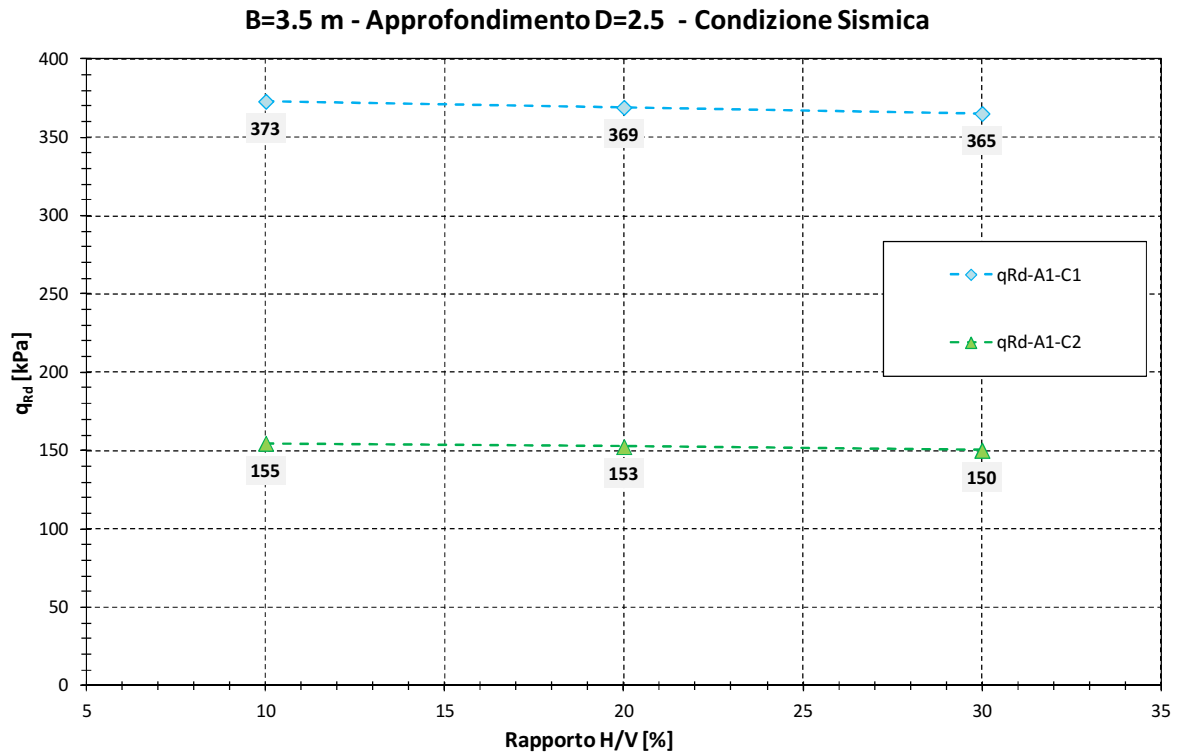


FIGURA 9-8: PRESSIONE DI CONTATTO LIMITE DI PROGETTO – B = 3.50 M – D = 2.50 M – CONDIZIONE SISMICA

## 10. COSTANTE DI SOTTOFONDO

---

Il terreno di fondazione può essere schematizzato secondo il modello di Winkler che prevede una relazione lineare fra il cedimento in un punto della superficie e la pressione agente nello stesso punto.

Con riferimento a quanto riportato in "VIGGIANI C. – Fondazioni – Hevelius Edizioni", la determinazione della costante di sottofondo del terreno al fine di una schematizzazione del piano di posa della struttura mediante molle può avvenire mediante la seguente formula:

$$k = \frac{M}{B}$$

dove:

- M: modulo edometrico del terreno di fondazione;
- B: larghezza della fondazione inerente alla modellazione strutturale adotta.

## 11. VERIFICHE DI STABILITÀ DEI RILEVATI

Nel presente capitolo saranno riportate separatamente:

- le analisi relative alla stabilità delle scarpate dei rilevati;
- le analisi relative alla stabilità globale dei rilevati.

Per quanto concerne i criteri adottati per tali verifiche e le condizioni di analisi si rimanda all'elaborato PD\_0\_A00\_A0000\_0\_GT\_RB\_02 "Criteri generali verifiche geotecniche".

Le verifiche sono state condotte con riferimento alla stratigrafia riportata nella seguente tabella, nella quale per ogni unità litostratigrafica individuata sono indicati i parametri di resistenza al taglio caratteristici e di progetto ai fini delle verifiche.

**TABELLA 11-1: STRATIGRAFIA E PARAMETRI DI PROGETTO – VERIFICHE DI STABILITÀ DEI RILEVATI**

Z <sub>min</sub> [m da p.c.]	Z <sub>max</sub> [m da p.c.]	Unità	γ [kN/m <sup>3</sup> ]	Parametri di resistenza al taglio caratteristici				Parametri di resistenza al taglio di progetto			
				c' <sub>k</sub> [kPa]	φ' <sub>k</sub> [°]	c <sub>uk-in</sub> [kPa]	c <sub>uk-fin</sub> [kPa]	c' <sub>d</sub> [kPa]	φ' <sub>d</sub> [°]	c <sub>ud-in</sub> [kPa]	c <sub>ud-fin</sub> [kPa]
0.0	8.0	1	18.7	4.0	24.0	50	50	3.2	19.6	36	36
8.0	10.0	1	18.7	4.0	24.0	70	70	3.2	19.6	50	50
10.0	12.0	2	18.5	0	26	60	60	0	21.3	43	43
12.0	18.0	4	19.0	0	32	-	-	0	26.6	-	-
18.0	30.0	5	19.5	0	32	-	-	0	26.6	-	-

Nelle elaborazioni è stato assunto cautelativamente il livello di falda pari a 0.50 m da p.c.

Per completezza in aggiunta a tali parametri si riportano nella seguente tabella i parametri geotecnici caratteristici adottati per il materiale da rilevato ipotizzato in materiale stabilizzato a calce e per il terreno vegetale adottato per il rivestimento delle scarpate.

**TABELLA 11-2: PARAMETRI DI RESISTENZA AL TAGLIO MATERIALE DA RILEVATO E TERRENO VEGETALE.**

Unità	γ [kN/m <sup>3</sup> ]	Parametri di resistenza al taglio caratteristici			Parametri di resistenza al taglio di progetto		
		c' <sub>k</sub> [kPa]	φ' <sub>k</sub> [°]	c <sub>uk</sub> [kPa]	c' <sub>d</sub> [kPa]	φ' <sub>d</sub> [°]	c <sub>ud</sub> [kPa]
Materiale da rilevato	19.5	15	28	200.00	12	23.04	142.90
Terreno vegetale	18.5	5	24	-	4	19.61	

Con riferimento ai seguenti parametri per la determinazione di  $a_g$ :

- Vita nominale  $V_N$ : 100 anni;
- Classe d'uso: IV;
- Coefficiente d'uso  $C_U$ : 2.0;
- Periodo di riferimento  $V_R$ : 200 anni.

si riassumono nella seguente tabella, per ciascuna zona omogenea, i valori dei coefficienti sismici adottati nelle verifiche di stabilità ottenuti a partire dai massimi valori di  $a_g$  in corrispondenza dei comuni interessati dalla specifica zona omogenea.

TABELLA 11-3: COEFFICIENTI SISMICI ADOTTATI PER LE VERIFICHE DI STABILITÀ DEI RILEVATI.

Comune	Categoria sottosuolo	$a_g$	$S_s$	$S_T$	$a_{max}$	$\beta_s$	$k_h$	$k_v$
San Possidonio	C	0.244	1.339	1.000	0.326	0.28	0.09135	$\pm 0.04568$

## 11.1. VERIFICHE DI STABILITÀ DEL CORPO RILEVATO

La geometria assunta per il corpo rilevato risulta analoga alla geometria dei rilevati autostradali in termini di pendenza delle scarpate e inserimento di banche intermedie ovvero:

- rilevati di altezza  $H_{ril} \leq 6.00$  m: pendenza delle scarpate pari a 2/3;
- rilevati di altezza  $6.00 \text{ m} < H_{ril} \leq 12.00$  m:
  - pendenza delle scarpate pari a 2/3;
  - larghezza banca pari a 2.00 m a 6.00 m dalla sommità del rilevato.

Inoltre tenuto conto che, per la viabilità interferita oggetto della presente trattazione:

- la larghezza della piattaforma risulta inferiore rispetto a quella dell'asse autostradale;
- il valore del periodo di riferimento per la determinazione dell'azione sismica,  $V_R = 200$  anni risulta il medesimo di quello dell'asse autostradale

si ritiene che le verifiche di stabilità del corpo rilevato siano soddisfatte in quanto risultano tali le verifiche di stabilità del corpo rilevato dell'asse autostradale. Per tali verifiche geotecniche si rimanda al documento PD\_0\_A00\_00000\_0\_GT\_RB\_03 "Relazione di verifiche geotecniche".

## 11.2. VERIFICHE DI STABILITÀ GLOBALE DEI RILEVATI

Sulla base delle altezze massime di rilevato individuate in corrispondenza dei rami di svincolo è stata analizzata la stabilità globale; in questo caso, le superfici di scorrimento interessano anche gli strati di terreno al di sotto del rilevato e consentono di definire la necessità di elementi di rinforzo alla base o all'interno del corpo rilevato. Nella seguente tabella si riassumono le altezze analizzate.

TABELLA 11-4: ALTEZZE DI RILEVATO ANALIZZATE NELLE VERIFICHE DI STABILITÀ GLOBALE PER CIASCUNA ZONA OMOGENEA.

H <sub>ril</sub> [m]	Nota
6.00	Massima altezza di rilevato senza banca intermedia
10.00	Massima altezza di rilevato con banca intermedia e senza geogriglie
12.00	Massima altezza di rilevato

### 11.2.1. H<sub>ril</sub> = 6.00 m

Si riportano nella tabella e nelle immagini seguenti i risultati ottenuti per le diverse condizioni di calcolo per rilevati di altezza 6.00 m.

TABELLA 11-5: RISULTATI DELLE ANALISI DI STABILITÀ GLOBALE H<sub>RIL</sub> = 6.00 M.

VERIFICHE	FS ( $\gamma_R \geq 1.1$ )			
	Cond. STATICA NON DRENATA	Cond. STATICA DRENATA	Cond. SISMA +	Cond. SISMA -
H=6.00 m	2.190	1.238	1.699	1.814

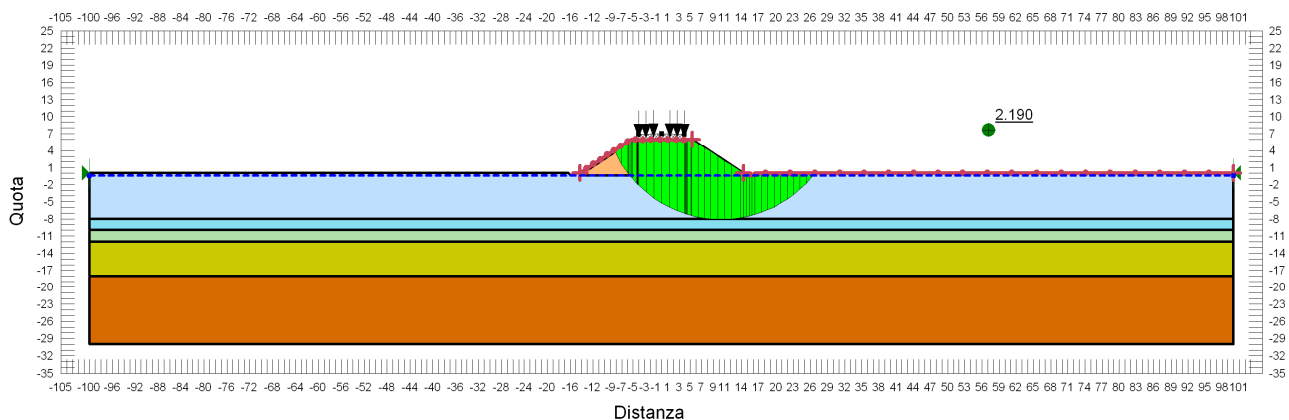
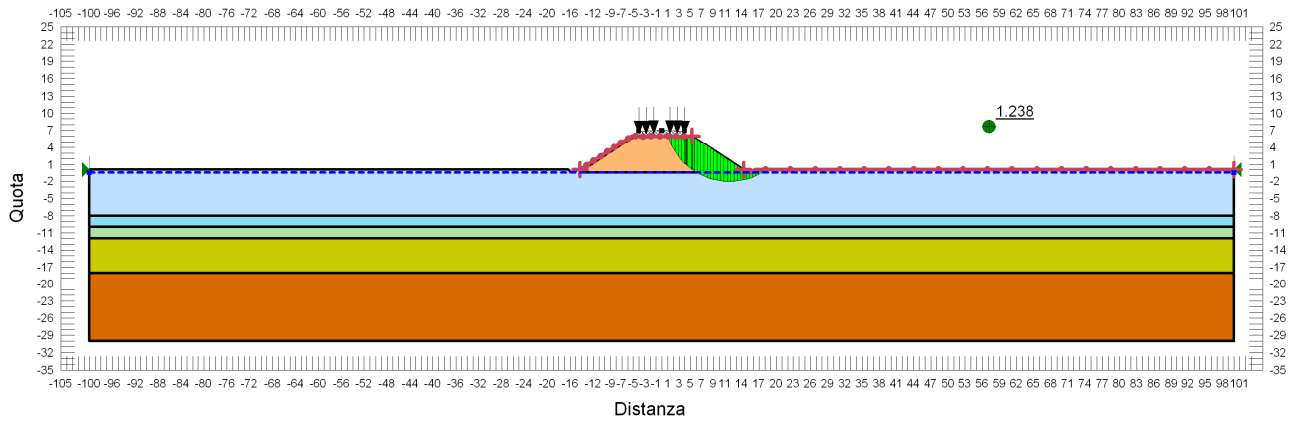
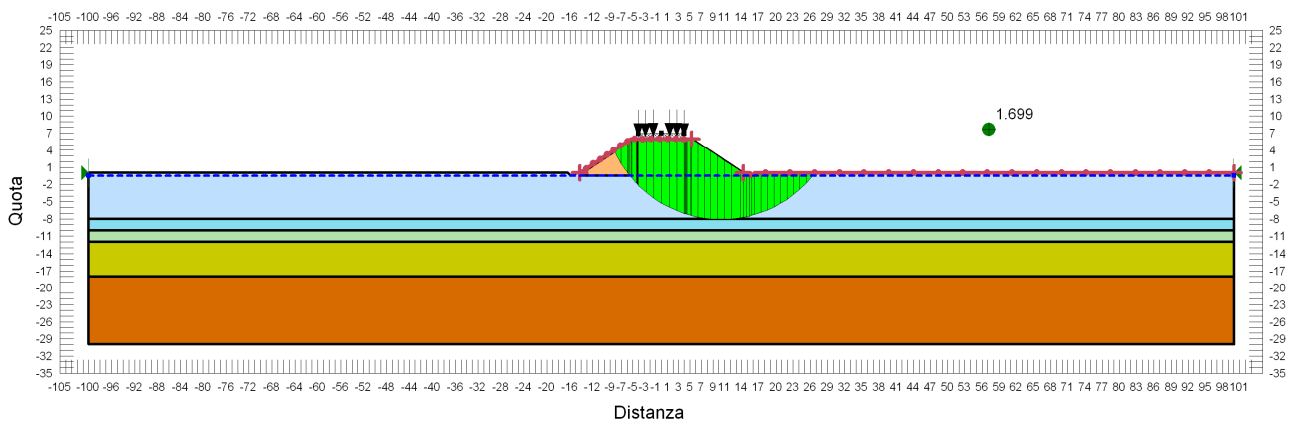


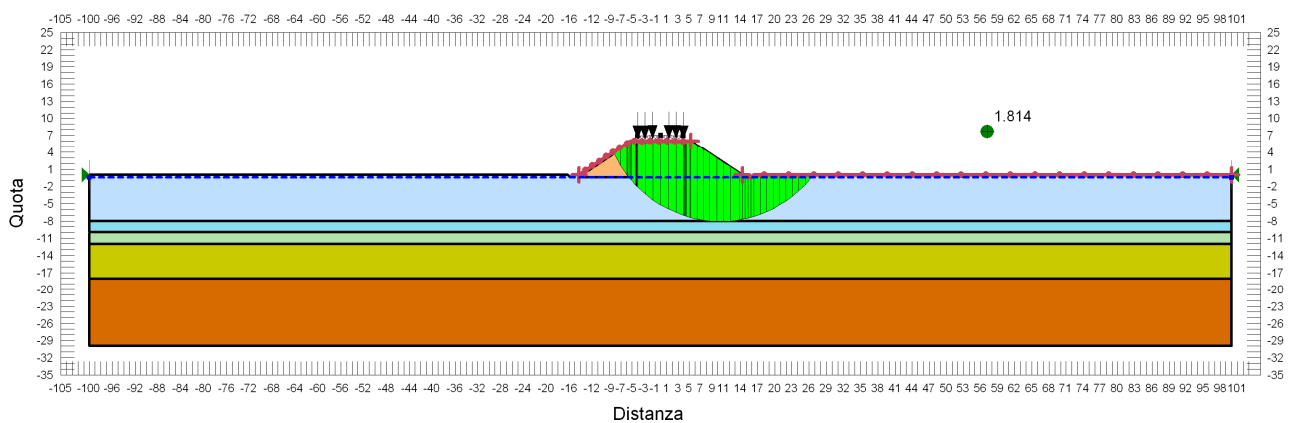
FIGURA 11-1: VERIFICA DI STABILITÀ GLOBALE RILEVATO DI H=6.00 M - CONDIZIONE STATICA NON DRENATA.



**FIGURA 11-2: VERIFICA DI STABILITÀ GLOBALE RILEVATO DI H=6.00 M - CONDIZIONE STATICA DRENATA.**



**FIGURA 11-3: VERIFICA DI STABILITÀ GLOBALE RILEVATO DI H=6.00 M - CONDIZIONE SISMA+.**



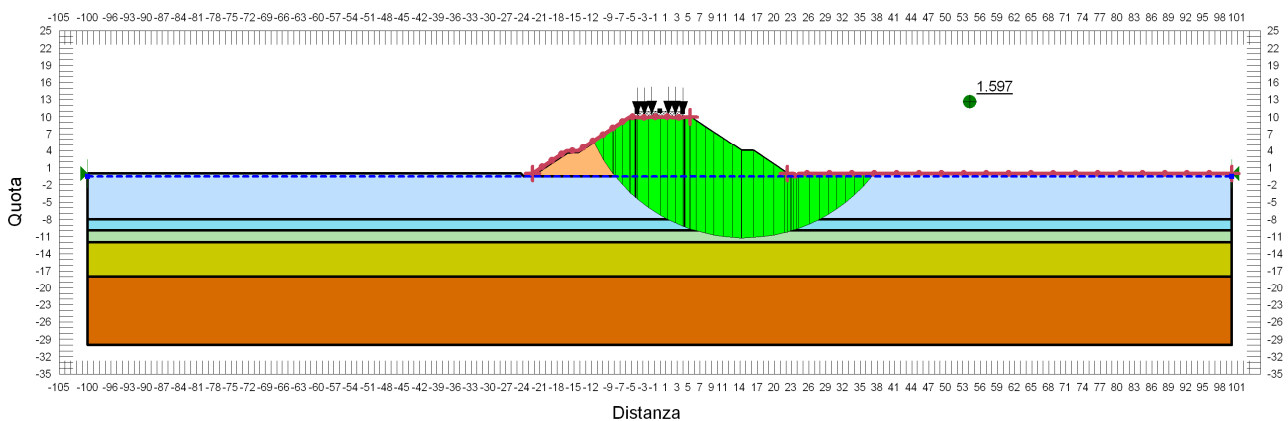
**FIGURA 11-4: VERIFICA DI STABILITÀ GLOBALE RILEVATO DI H=6.00 M - CONDIZIONE SISMA-.**

## 11.2.2. $H_{ril} = 10.00$ m

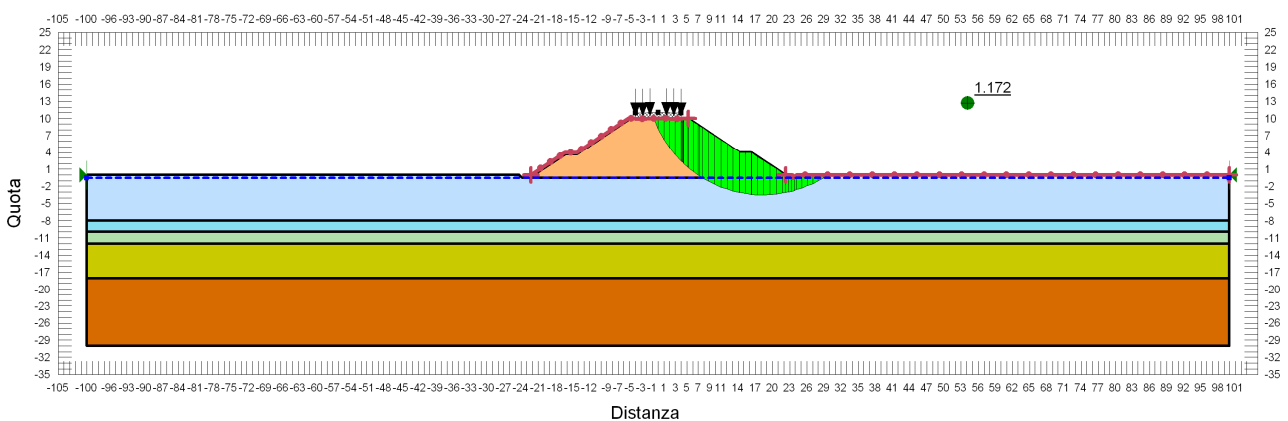
Si riportano nella tabella e nelle immagini seguenti i risultati ottenuti per le diverse condizioni di calcolo per rilevati di altezza 10.00 m.

**TABELLA 11-6: RISULTATI DELLE ANALISI DI STABILITÀ GLOBALE  $H_{RIL} = 10.00$  M.**

VERIFICHE	FS ( $\gamma_R \geq 1.1$ )			
ALTEZZA RILEVATI	Cond. STATICA NON DRENATA	Cond. STATICA DRENATA	Cond. SISMA +	Cond. SISMA -
H=10.00 m	1.597	1.172	1.169	1.281



**FIGURA 11-5: VERIFICA DI STABILITÀ GLOBALE RILEVATO DI H=10.00 M - CONDIZIONE STATICA NON DRENATA.**



**FIGURA 11-6: VERIFICA DI STABILITÀ GLOBALE RILEVATO DI H=10.00 M - CONDIZIONE STATICA DRENATA.**



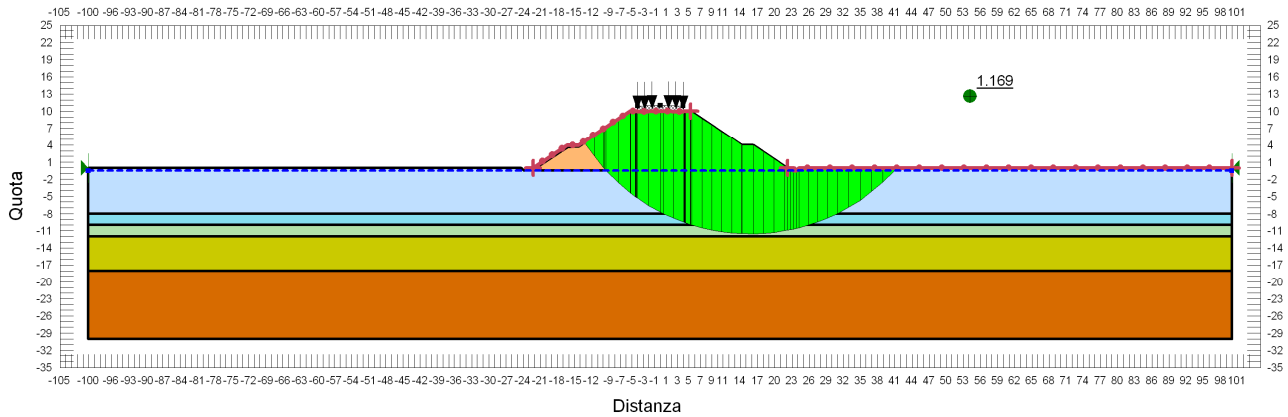


FIGURA 11-7: VERIFICA DI STABILITÀ GLOBALE RILEVATO DI H=10.00 m - CONDIZIONE SISMA+.

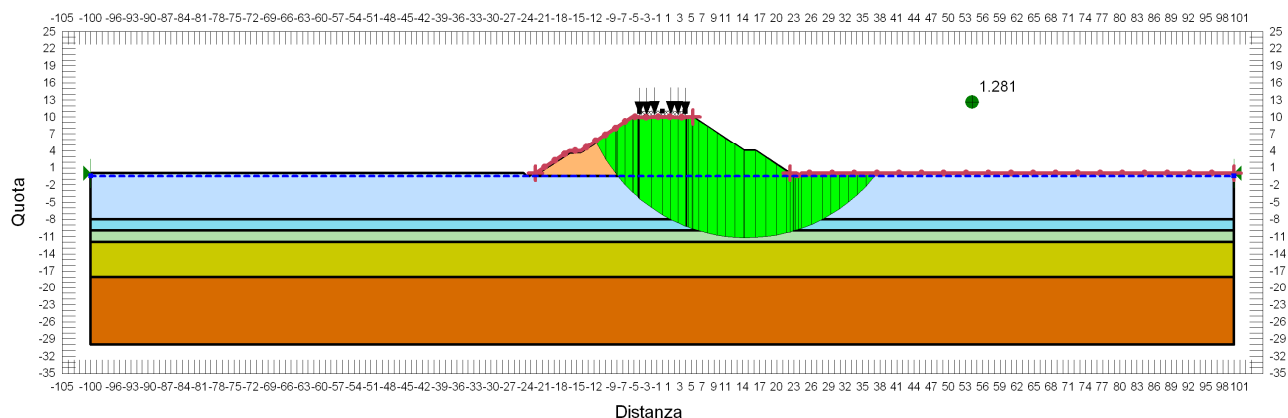


FIGURA 11-8: VERIFICA DI STABILITÀ GLOBALE RILEVATO DI H=10.00 m - CONDIZIONE SISMA-.

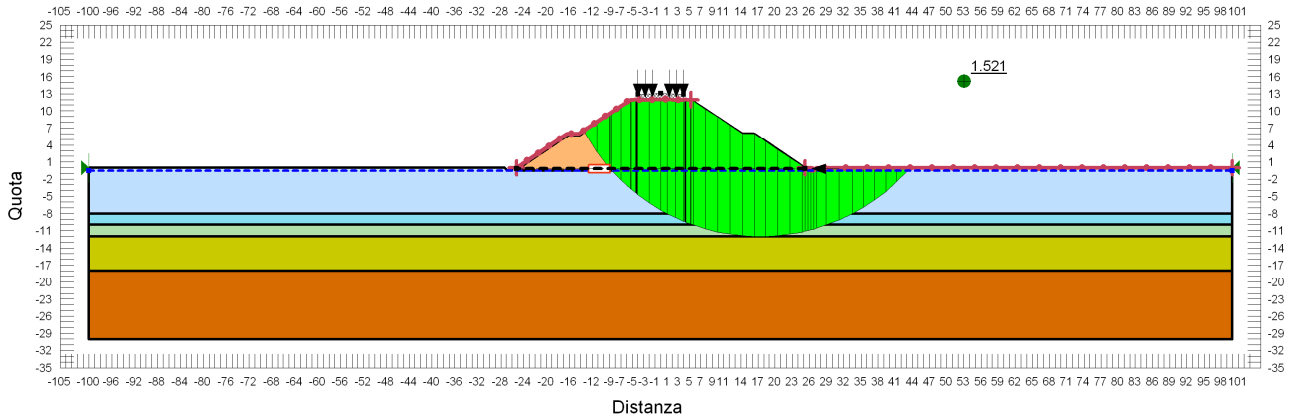
### 11.2.3. $H_{ril} = 12.00$ m

Per i rilevati di altezza superiore a 10.00 m sono state introdotte alla base del rilevato geogriglie di rinforzo. Per rilevati aventi altezza compresa tra 10.00 m e 12.00 m tali geogriglie devono avere resistenza ultima a trazione pari a 300 kN in corrispondenza di un allungamento  $\epsilon=10\%$ .

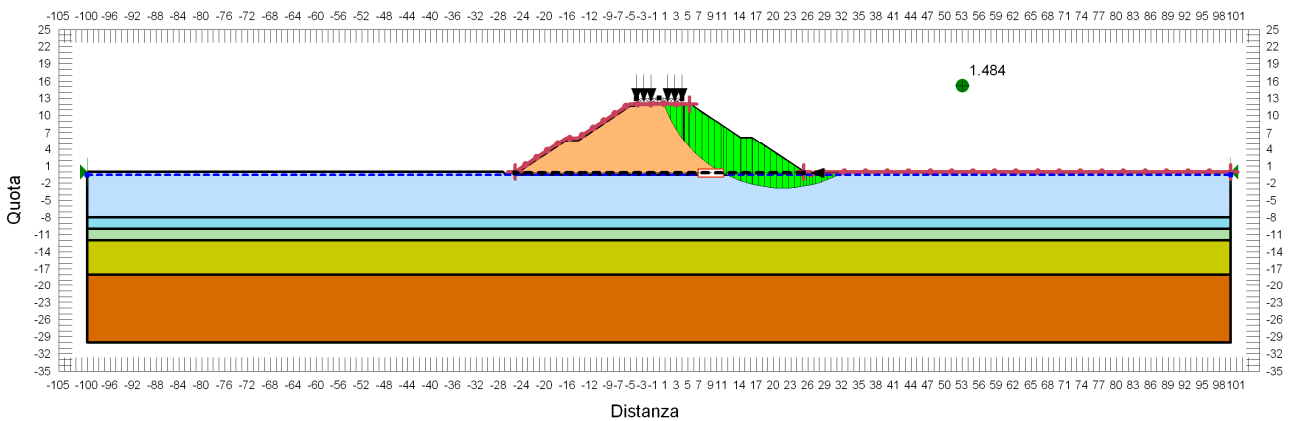
Si riportano nella tabella e nelle immagini seguenti i risultati ottenuti per le diverse condizioni di calcolo per rilevati di altezza 12.00 m.

TABELLA 11-7: RISULTATI DELLE ANALISI DI STABILITÀ GLOBALE  $H_{RIL} = 12.00$  M.

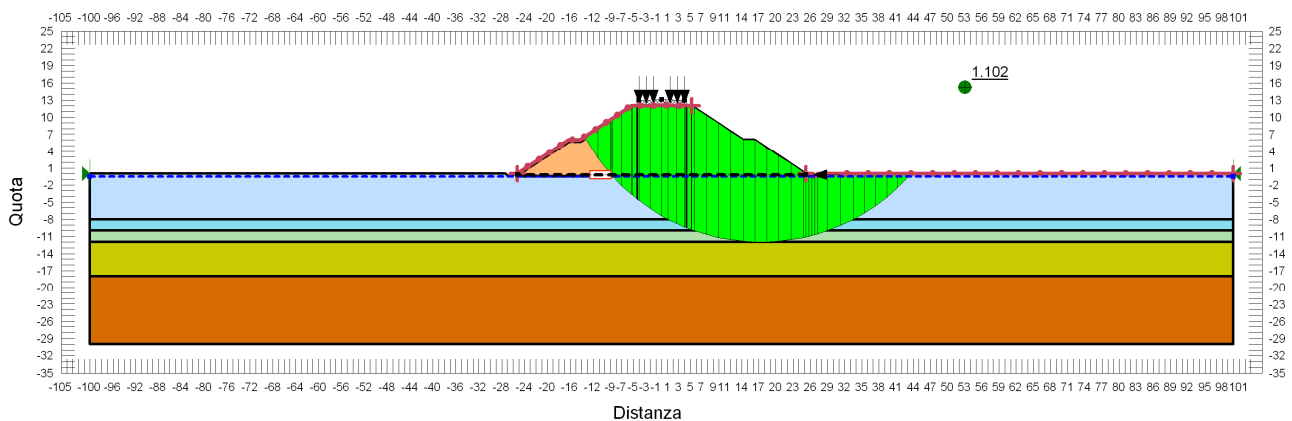
VERIFICHE	FS ( $\gamma_R \geq 1.1$ )			
	Cond. STATICA NON DRENATA	Cond. STATICA DRENATA	Cond. SISMA +	Cond. SISMA -
H=12.00 m	1.521	1.484	1.102	1.184



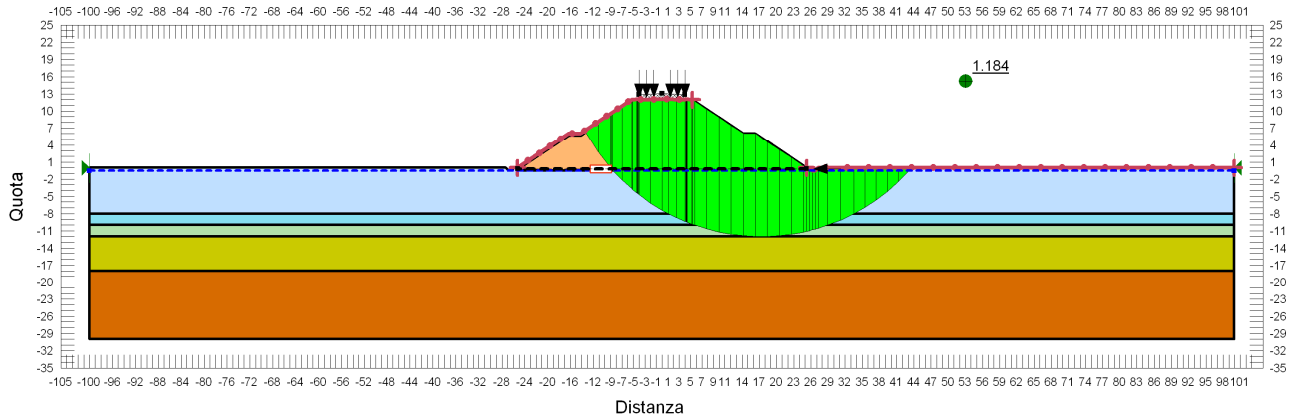
**FIGURA 11-9: VERIFICA DI STABILITÀ GLOBALE RILEVATO DI H=12.00 M - CONDIZIONE STATICA NON DRENATA.**



**FIGURA 11-10: VERIFICA DI STABILITÀ GLOBALE RILEVATO DI H=12.00 M - CONDIZIONE STATICA DRENATA.**



**FIGURA 11-11: VERIFICA DI STABILITÀ GLOBALE RILEVATO DI H=12.00 M - CONDIZIONE SISMA+.**



**FIGURA 11-12: VERIFICA DI STABILITÀ GLOBALE RILEVATO DI H=12.00 M - CONDIZIONE SISMA-**

## 12. STIMA DEI CEDIMENTI E LORO EVOLUZIONE NEL TEMPO

Per la valutazione dei cedimenti si rimanda al documento PD\_0\_V11\_V0000\_0\_GT\_RB\_01, mentre per i livelli prestazionali si rimanda al documento PD\_0\_A00\_A0000\_0\_GT\_RB\_03.

In particolare gli interventi previsti sono riassunti nella seguente tabella.

TABELLA 12-1: INTERVENTI RILEVATI CORRENTI

Interventi Previsti					
	Intervento previsto	Lato maglia quadrata [m]	Lunghezza dreni da piano campagna [m]	Tempo di costruzione	Tempo attesa
S02	$H_{\text{rilevato}} \leq 10.00$ non sono previsti dreni	-	-	10gg/m	8 mesi

## 13. INTERVENTI DI CONSOLIDAMENTO PER I RILEVATI IN CORRISPONDENZA DELLE SPALLE DELLE OPERE D'ARTE

Per la valutazione dei cedimenti si rimanda al documento PD\_0\_V12\_V0000\_0\_GT\_RB\_01.

In particolare gli interventi previsti sono riassunti nella seguente tabella.

TABELLA 13-1: INTERVENTI SPALLE OPERE D'ARTE

Opera d'arte		Tipologia opera	ZO	Tipologi a Spalla	$H_{RIL, max}$ [m]	Tipologia dreni	$L_d$ (valutata da piano campagna) [m]	$i_d$ [m]	$H_{precarico}$ [m]	Tc (Tempo di costruzione)	Ta (Tempo di attesa: fine esecuzione rilevato - esecuzione della spalla)
SCV01	Svincolo Autostazione S. Possidonio Concordia Mirandola	Iperstatico	6	passante (2 file di pali)	11.0	dreni a nastro	13.0	2	2.0	10 gg/m	10 mesi
SCV02	Svincolo Autostazione S. Possidonio Concordia Mirandola	Iperstatico	6	passante (2 file di pali)	11.0	dreni a nastro	13.0	2	2.0	10 gg/m	10 mesi



## 14. VERIFICHE DI STABILITÀ NEI CONFRONTI DEI FENOMENI DI LIQUEFAZIONE

---

Per tali verifiche si rimanda al doc. PD\_0\_A00\_A0000\_0\_GT\_RB\_03 – Asse autostradale, Relazione di verifiche geotecniche.



## 15. CLASSI DI ESPOSIZIONE PER OPERE DI FONDAZIONE

---

Si rimanda al documento PD\_0\_A00\_A0000\_0\_GT\_RB\_03.

## 16. TRATTAMENTO DEL PIANO DI POSA DEI RILEVATI/TRINCEE

### 16.1. CRITERI PER LA DEFINIZIONE DEGLI SPESSORI DI BONIFICA AL DI SOTTO DEI RILEVATI

Per quanto concerne i criteri per la definizione del piano di posa dei rilevati/trincee si rimanda all'elaborato PD\_0\_A00\_A0000\_0\_GT\_RB\_02 "Criteri generali verifiche geotecniche".

### 16.2. SCHEMA GENERALE DELLE BONIFICHE

Lo schema generale delle bonifiche effettuate al piano di posa dei rilevati è riportato nella figura seguente.

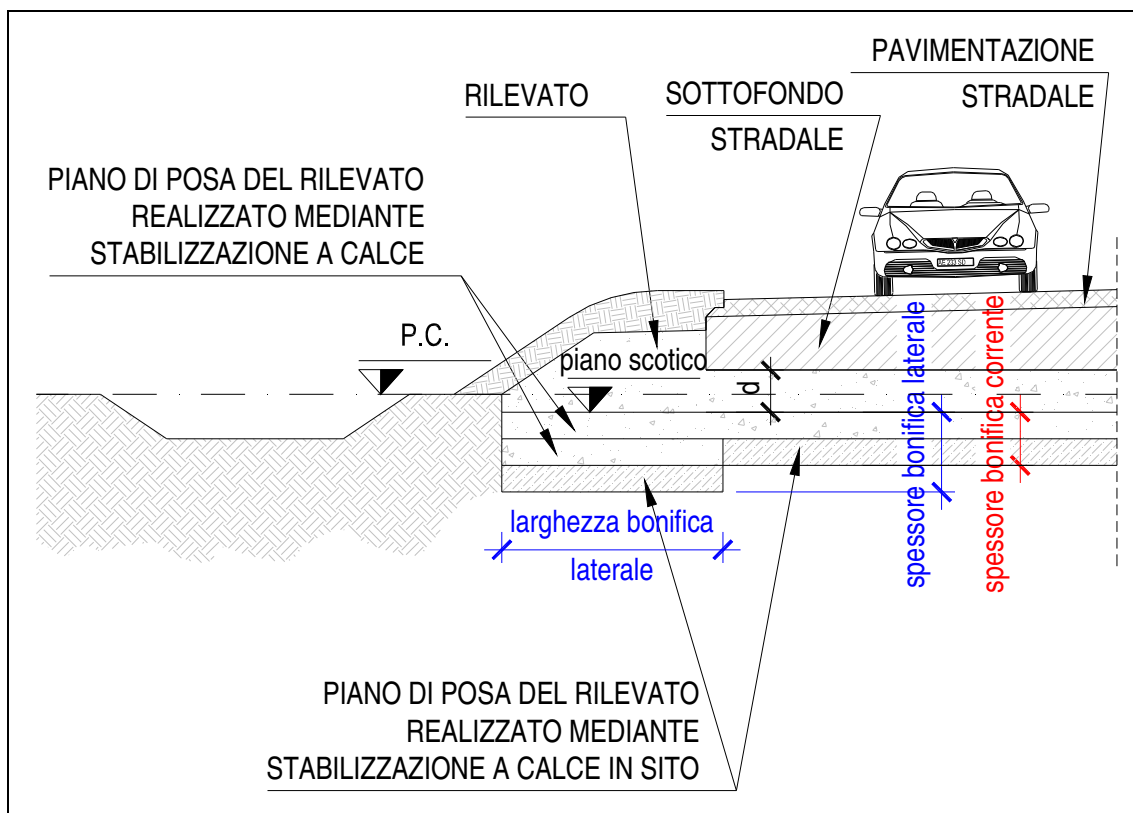


FIGURA 16-1: SCHEMA GENERALE BONIFICHE.



### 16.3. LIVELLO PRESTAZIONALE PIANO DI POSA DEI RILEVATI

Nella tabella seguente sono riportati, per il singolo tratto individuato sulla base della distanza prevalente intradosso fondazione/sottofondo stradale – piano di posa rilevato:

- le altezze di rilevato di riferimento;
- il livello prestazionale in termini di valore del modulo di deformazione su piastra  $M_d$  richiesto in funzione della distanza "d" considerata.

TABELLA 16-1: LIVELLI PRESTAZIONALI MINIMI DEL PIANO DI POSA DEI RILEVATI/TRINCEE.

Altezza rilevato [m]	d [m]	$M_{d\text{-richiesto}}$ [MPa]
≤ 1	0.0	50.0
> 1	1.0	20.0

### 16.4. CARATTERIZZAZIONE DEI MATERIALI

Per quanto riguarda le caratteristiche del materiale utilizzato per lo strato di bonifica vengono ipotizzati valori del modulo elastico variabili nell'intervallo  $E_1 = 30.0 \div 75.0$  MPa.

*Pozzetti esplorativi di riferimento:* PZ 33, 34 e 35 (vedi elaborato PD\_0\_A00\_A0000\_0\_GT\_RB\_01 "Relazione geotecnica generale").

Per la determinazione del modulo elastico  $E_0$  attribuito al terreno di sottofondo nelle elaborazioni numeriche atte a simulare la prova di carico su piastra all'estradosso dello strato di bonifica con il criterio di Burmister, si è fatto principalmente riferimento ai risultati delle prove di carico su piastra in termini di modulo di deformazione  $M_d$  condotte nella campagna di indagine di progetto definitivo in corrispondenza della viabilità oggetto del presente documento.

Tale modulo  $E_0 = E_{PLT}$  è ricavato sulla base del modulo di deformazione su piastra dei pozzetti di riferimento secondo quanto riportato nell'elaborato PD\_0\_A00\_A0000\_0\_GT\_RB\_02 "Criteri generali verifiche geotecniche".

Nella tabella seguente è riportato, in base all'altezza del rilevato, il modulo elastico  $E_0 = E_{PLT}$  assunto nelle elaborazioni.

TABELLA 16-2: TERRENO NATURALE – MODULO ELASTICO ASSUNTO NELLE ELABORAZIONI.

Altezza rilevato [m]	$E_{PLT} = E_0$ [MPa]
$\leq 1$	5.3
$> 1$	6.0

## 16.5. EFFETTI DELLA VARIAZIONE DELLO SPESSORE DI BONIFICA E DEL RELATIVO MODULO ELASTICO

Al variare dello spessore di bonifica "s" e del relativo modulo elastico (da 30.0 MPa a 75 MPa) sono state ricavate le curve corrispondenti al valore del modulo su piastra equivalente  $M_d$  misurato all'estradosso della bonifica, ovvero al piano di posa del rilevato, definite secondo il criterio di Burmister.

Tale range di modulo elastico della bonifica si ritiene compatibile con terreno stabilizzato a calce.

I risultati delle analisi vengono riassunti nella tabella seguente in termini di:

- spessore corrente dello strato di bonifica;

da assumere al fine di raggiungere il livello prestazionale richiesto per il piano di posa del rilevato; per ogni tratto è inoltre indicato il riferimento alla figura che mostra l'analisi condotta con il criterio di Burmister.

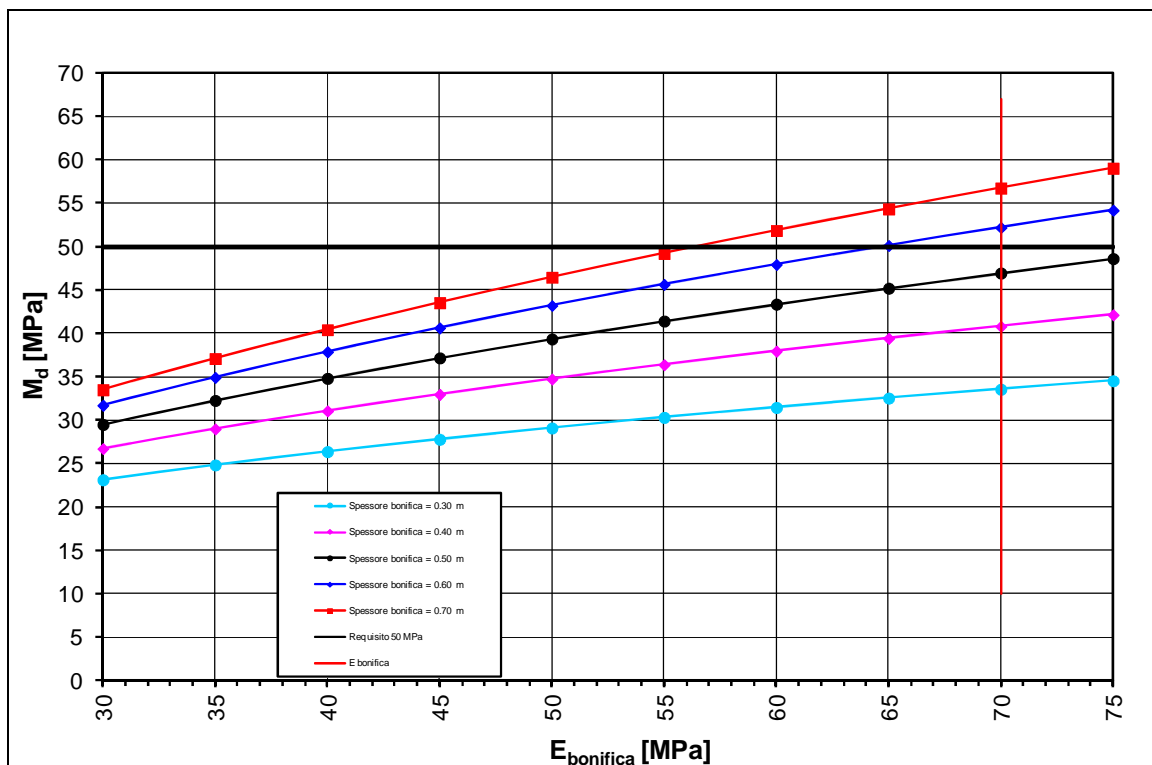
Viene inoltre indicato:

- lo spessore di bonifica ai lati del piano di posa del rilevato che risulta, in genere, approfondito rispetto alla bonifica corrente e la relativa larghezza (vedi schema riportato in Figura 16-1).

Il modulo elastico della bonifica indicato nelle analisi è quello necessario a garantire il livello prestazionale richiesto; i valori indicati si ritengono compatibili con terreno stabilizzato a calce.

**TABELLA 16-3: SPESSORI DI BONIFICA LUNGO IL TRACCIATO.**

Altezza rilevato [m]	Spessore bonifica corrente [m]	Spessore bonifica laterale [m]	Larghezza bonifica laterale [m]	Analisi di Burmister
≤ 1	0.6	0.6	0.0	Figura 16-2
> 1	0.3	0.6	2.5	Figura 16-3



**FIGURA 16-2: HRIL ≤ 1M – DETERMINAZIONE SPESSORE DI BONIFICA.**

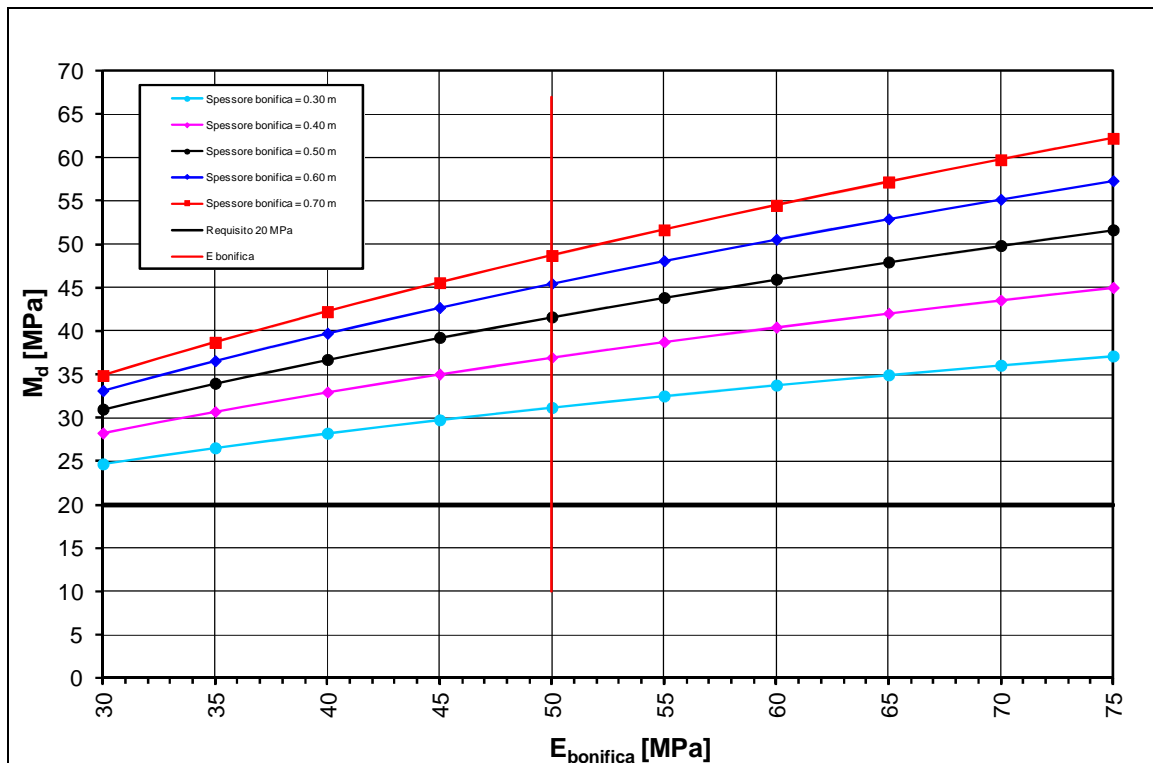


FIGURA 16-3: HRIL > 1M – DETERMINAZIONE SPESSORE DI BONIFICA.

## 16.6. STUDIO DELLA STABILIZZAZIONE DELLE TERRE CON CALCE

A seguito dell'analisi dei certificati di laboratorio inerenti lo studio delle miscele terreno naturale + calce (CaO) (vedi elaborati inerenti le indagini di laboratorio riportati nell'elaborato PD\_0\_A00\_A0000\_0\_GT\_RB\_01 "Relazione geotecnica generale"), è stata verificata la sostanziale idoneità dei terreni presenti al piano di posa dei rilevati ad essere stabilizzati a calce.

Nella tabella seguente sono riportati:

- la percentuale di calce da adottare nelle miscele terreno naturale + calce (CaO) per la formazione del piano di posa dei rilevati/trincee (bonifiche);
- le pk di inizio e fine di riferimento per la singola percentuale di calce.

**TABELLA 16-4: LIVELLI PRESTAZIONALI MINIMI DEL PIANO DI POSA DEI RILEVATI/TRINCEE.**

pk inizio [km]	pk fine [km]	% calce viva (CaO) per stabilizzazione
/	/	3.5